

JAERI-M

5363

放射性同位体製造資料-1137

J M T R 試用期間照射試験報告書  
(R I 関係)

1973年8月

アイソトープ事業部 製造部

日本原子力研究所  
Japan Atomic Energy Research Institute

この報告書は、日本原子力研究所が JAERI-M レポートとして、不定期に刊行している研究報告書です。入手、複製などのお問い合わせは、日本原子力研究所技術情報部（茨城県那珂郡東海村）あて、お申しこしください。

JAERI-M reports, issued irregularly, describe the results of research works carried out in JAERI. Inquiries about the availability of reports and their reproduction should be addressed to Division of Technical Information, Japan Atomic Energy Research Institute, Tokai-mura, Naka-gun, Ibaraki-ken, Japan.

J M T R 試用期間照射試験報告書  
( R I 関係 )

日本原子力研究所アイソトープ事業部製造部  
( 1 9 7 3 年 7 月 2 7 日受理 )

日本原子力研究所、大洗研究所の材料試験炉部によって、J M T R の実用期間に入る前に試用期間を利用して、関連技術の習熟および必要な諸データの集積のために一連の照射試験がおこなわれた。ラジオアイソトープ関係はアイソトープ事業部製造部が担当し、将来、照射、製造、利用の可能性のあるアイソトープのターゲット 28種を選定して照射試験をおこなった。照射後、試料の状況、取扱いの難易、生成量、照射孔の中性子束などを検討したが、すべての面で予想と大きく異なった結果のものはなく、今後の実用照射のために有効なデータが得られた。

この照射試験は、アイソトープ事業部製造部の天野恕次長が昭和 41 年 3 月から昭和 45 年 5 月にかけて材料試験炉運営委員会の照射利用小委員会委員として、最初に計画し、それを製造部の照射担当者が補佐し、主となって製造部門の担当各係の協力を得て実行しましたのでその分担は下記の通りである。

全 体 計 画、照 射 計 画：

天 野 恕・伊 藤 太 郎

試 料 の 調 製、照 射 後 試 験 お よ び 試 験 結 果 ま と め：

精 製 ラ ジ オ ア イ ソ ト ー プ：山 林 尚 道，四 方 英 治

線 源 ラ ジ オ ア イ ソ ト ー プ：加 藤 久，立 川 克 浩

編 集

伊 藤 太 郎・四 方 英 治

JAERI - M 5363

IRRADIATIONS DURING TEST UTILIZATION OF JMTR  
(production of radioisotopes)

Division of Radioisotope Production, Radioisotope  
Centre, JAERI

(Received July 27 , 1973)

The Division of JMTR Project, Oarai Research Establishment, Japan Atomic Energy Research Institute, had carried out series of the test irradiations during preliminary utilization of the JMTR to obtain techniques and data necessary for the future full-scale utilization. The Division of Radioisotope Production, Radioisotope Centre, participated in the program, concerning radioisotopes production. Twenty eight kinds of target materials were irradiated, looking to the future possible requirements. Physical and chemical states of the irradiated materials were examined, as well as the problems involved in handling, and yields of the radioisotopes and neutron fluxes at the irradiation positions were determined. The results obtained were not largely different from those expected, and they would be useful for the future irradiations.

The irradiation test of the target materials were projected by Amano, deputy chief of the Division of Radioisotope Production, Radioisotope Centre, while he was on Irradiation-Utilization

Sub-Committee of the JMTR Operational Committee for March 1966 to May 1970, assisted by personnel in charge of the reactor irradiation of the Division. Irradiations were carried out mainly by those in charge of the reactor irradiation with cooperation of other groupes of the same division. The persons representing each section of the works are :

Overall planning .....

H. Amano, deputy chief of the Division of Radioisotope Production

T. Ito, chief of the Production Section

Preparation of target materials, post-irradiation treatment, and arrangement of the results .....

Purified radioisotopes: H. Yamabayashi and E. Shikata

Radiation sources: H. Kato and K. Tachikawa

Editors .....

T. Ito and E. Shikata

## 目 次

1 まえがき	1
2 試料の選択	1
3 生成核種および生成量	2
4 ターゲットの包装	2
5 試料の検査	3
6 照射	3
7 照射後試験	3
8 照射後試験結果	4
9 照射孔と中性子束	10
10 問題点の検討	10
11 あとがき	11
参考文献	12

CONTENTS

1. Introduction.....	1
2. Choice of target materials.....	1
3. Nuclides to be produced and their quantities..	2
4. Encapsulation.....	2
5. Inspection.....	3
6. Irradiation.....	3
7. Post-irradiation tests.....	3
8. Results of post-irradiation tests.....	4
9. Irradiation holes and neutron fluxes.....	10
10. Problems and difficulties found in the test... 11. Conclusion.....	10
References.....	12

## 1 まえがき

日本原子力研究所、大洗研究所、材料試験炉部においてJMT-Rを使用する一連の照射試験が昭和45年6月から46年6月迄の一年間、第3サイクルから第9サイクルまでの出力30MWの運転期間を利用して実施された。これは実用期間に入ってから照射サービスが円滑におこなえるよう関連技術に習熟するとともに、今後照射実験を実施して行く上に必要な諸データを集積することを主目的とするものであった。

照射試料については、利用関係機関から提供することとし、原則として無料で照射された。これらの材料は燃料、材料、大学、RI（ラジオアイソトープの略称で以下RIと呼ぶ）の各関係機関にわかつて提供することになったが、RI関係は日本原子力研究所、アイソトープ事業部が一括担当することになった。

JMT-Rは濃縮度90%の高濃縮ウランを使用した軽水減速冷却、タンク型で最大熱出力は50MWである。実験孔内の平均中性子束は燃料領域で速中性子束（1MeV以上） $1 \times 10^{14} \text{ n/cm}^2 \cdot \text{sec}$ 、熱中性子束 $3 \times 10^{14} \text{ n/cm}^2 \cdot \text{sec}$ 、反射体領域で速中性子束（1MeV以上） $0.5 \times 10^{14} \text{ n/cm}^2 \cdot \text{sec}$ 、熱中性子束 $2 \times 10^{14} \text{ n/cm}^2 \cdot \text{sec}$ と設計された。28日間連続運転を1サイクルとして年間6サイクルが運転される。一方炉心は高速炉に匹敵する程の出力密度（500KW/e）を有し、非常に大きなガンマ発熱（例えば照射孔I-11の中心部では50MW運転時6W/g）が予測される。

このようなJMT-Rの性能を考慮して、アイソトープ事業部製造部では上記の主目的にそつて、実用期間に入ってから照射、製造、利用されると予想されるRIの種類を考慮して、高中性子束照射による発熱、γ線などの炉内各種条件の影響による照射の安全性、照射後の試料の処理の難易および目的とする核種の生成量などを知るために適当な試料28種を選んで照射することにした。同時にこの期間の照射試験を通してRI製造のために必要なより安全な照射技術の確立、大洗一東海間の輸送上の問題点の解消、安全な取扱い技術の確立、RI製造方法、製品の品質の検討および各照射孔における中性子束の推定などの検討をこころみることにした。

## 2 試料の選択

照射試験試料の選択にあたっては、JMT-Rの高中性子束下での照射であることを考慮して、安全性の面から従来JRR-2、JRR-3で照射の経験のあるターゲット物質を主として選び、照射中著しい発熱、分解などのおそれのあるものは今後の照射実験にまつことにし、今回は除外することにした。これらに加えてJMT-Rでの照射終了後の試料の取扱時間、大洗一東海間の輸送時間を考慮して半減期が<sup>99</sup>Moの66.0時間未満の核種は水送管照射以外は除いた上で照射用試料を決定した。これらの試料をRI製造の面から見た場合、次の様に分類される。すなわちJRR-2、JRR-3による照射では比放射能が低く市場の要求を満たすことのできなかつたRI（<sup>45</sup>Ca、<sup>51</sup>Cr、<sup>55</sup><sup>59</sup>Fe、<sup>60</sup>Co、<sup>203</sup>Hgなど）、半減期が長く、必要な照射時間および中性子束の点でJMT-Rを利用しなければ良質の製品が得られないRI（<sup>14</sup>C、<sup>155</sup>Euなど）および需要

## 1 まえがき

日本原子力研究所、大洗研究所、材料試験炉部において JMTR を使用する一連の照射試験が昭和 45 年 6 月から 46 年 6 月迄の一年間、第 3 サイクルから第 9 サイクルまでの出力 30MW の運転期間を利用して実施された。これは実用期間に入つてから照射サービスが円滑におこなえるよう関連技術に習熟するとともに、今後照射実験を実施して行く上に必要な諸データを集積することを主目的とするものであった。

照射試料については、利用関係機関から提供することとし、原則として無料で照射された。これらの材料は燃料、材料、大学、RI（ラジオアイソトープの略称で以下 RI と呼ぶ）の各関係機関にわかれ提供することになったが、RI 関係は日本原子力研究所、アイソトープ事業部が一括担当することになった。

JMTR は濃縮度 90% の高濃縮ウランを使用した軽水減速冷却、タンク型で最大熱出力は 50MW である。実験孔内の平均中性子束は燃料領域で速中性子束（1 MeV 以上） $1 \times 10^{14} \text{ n/cm}^2 \cdot \text{sec}$ 、熱中性子束  $3 \times 10^{14} \text{ n/cm}^2 \cdot \text{sec}$ 、反射体領域で速中性子束（1 MeV 以上） $0.5 \times 10^{14} \text{ n/cm}^2 \cdot \text{sec}$ 、熱中性子束  $2 \times 10^{14} \text{ n/cm}^2 \cdot \text{sec}$  と設計された。28 日間連続運転を 1 サイクルとして年間 6 サイクルが運転される。一方炉心は高速炉に匹敵する程の出力密度（500 KW/l）を有し、非常に大きなガンマ発熱（例えば照射孔 I-11 の中心部では 50MW 運転時 6W/g）が予測される。

このような JMTR の性能を考慮して、アイソトープ事業部製造部では上記の主目的にそつて、実用期間に入つてから照射、製造、利用されると予想される RI の種類を考慮して、高中性子束照射による発熱、γ 線などの炉内各種条件の影響による照射の安全性、照射後の試料の処理の難易および目的とする核種の生成量などを知るために適当な試料 28 種を選んで照射することとした。同時にこの期間の照射試験を通して RI 製造のために必要なより安全な照射技術の確立、大洗一東海間の輸送上の問題点の解消、安全な取扱い技術の確立、RI 製造方法、製品の品質の検討および各照射孔における中性子束の推定などの検討をこころみることにした。

## 2 試料の選択

照射試験試料の選択にあたっては、JMTR の高中性子束下での照射であることを考慮して、安全性の面から従来 JRR-2, JRR-3 で照射の経験のあるターゲット物質を主として選び、照射中著しい発熱、分解などのおそれのあるものは今後の照射実験にまつことにし、今回は除外することにした。これらに加えて JMTR での照射終了後の試料の取扱時間、大洗一東海間の輸送時間を考慮して半減期が  $^{99}\text{Mo}$  の 66.0 時間未満の核種は水送管照射以外は除いた上で照射用試料を決定した。これらの試料を RI 製造の面から見た場合、次の様に分類される。すなわち JRR-2, JRR-3 による照射では比放射能が低く市場の要求を満たすことのできなかつた RI ( $^{45}\text{Ca}$ ,  $^{51}\text{Cr}$ ,  $^{55}\text{Fe}$ ,  $^{60}\text{Co}$ ,  $^{203}\text{Hg}$  など)、半減期が長く、必要な照射時間および中性子束の点で JMTR を利用しなければ良質の製品が得られない RI ( $^{14}\text{C}$ ,  $^{155}\text{Eu}$  など) および需要

量が多く JMTR を主力ないし併用しないと需要を確保することの困難な RI ( $^{32}\text{P}$ ,  $^{99}\text{Mo}$ ,  $^{131}\text{I}$ ,  $^{198}\text{Au}$  など), さらに JMTR を利用すれば将来有望な製品を得ることが可能と思われる RI ( $^{58}\text{Co}$ ,  $^{113}\text{Sn}$ ,  $^{182}\text{Ta}$  など) の製造用ターゲットである。

ターゲットとして元素状のものは金, 亜鉛, ニッケル, コバルト, クロム, カドミウム, 銀, 白金, 鉄, スズ, イリジウム, 硫黄, 酸化物としては酸化タンタル, 酸化サマリウム, 酸化クロム, 三酸化モリブデン, 酸化鉄(III), 二酸化テルル, 酸化水銀(II), 酸化マグネシウムを, そして炭酸塩として炭酸ルビジウム, 炭酸セシウム, 炭酸カルシウム, 炭酸バリウム, 炭酸ストロンチウムを, その他の化学形として窒化アルミニウム, 塩化カリウム, クロム酸カリウムを選定した。また線源用 RI のターゲットとして  $^{192}\text{Ir}$  線源用には  $2\text{mm}\phi \times 2\text{mm}$  のペレット状イリジウムを,  $^{60}\text{Co}$  線源用としては水送管照射用ターゲットとして  $0.46\text{mm}\phi \times 10\text{mm}$  および  $0.91\text{mm}\phi \times 15\text{mm}$  の 2 種類の針状コバルトを選んだ。また炉心内照射用にはウエファ型 ( $8.3\text{mm}\phi \times 23\text{mm}$ ) とペレット型 ( $1\text{mm}\phi \times 1\text{mm}$ ) のコバルトを選定した。これらのターゲットの物理的, 化学的性質, 性状, 純度, 目的生成核種およびそれらの主な用途を Table 1 に示す。

### 3 生成核種および生成量

前記ターゲットを使用した場合の目的生成核種および副反応生成核種, またそれらの半減期, 反応の種類, 核反応断面積, 中性子束  $1 \times 10^{14} \text{n/cm}^2 \cdot \text{sec}$  の場合の飽和生成量, 21日および28日間照射直後の比放射能, 比ガンマ線定数を Table 2 に示す。

### 4 ターゲットの包装

照射のためのターゲットの包装については, 照射中の安全性, 照射後の取扱いの容易さを考慮して材料試験炉部と検討打合せをおこない, 各ターゲットをその性質, 性状に応じて 5 クラスに分類してそれぞれ包装方法を定めた。この分類にしたがって直接包装材として石英アンプル, アルミニウム製インナーカプセル (アルミニウム箔で蓋をおくいあるいは直接カプセルの口をおくっただけのもの) をえらび, さらに冷間圧接型アルミニウム製カプセルに一重あるいは二重に封入した。これらのカプセルまで包装したものを "RI 試料" とした。これら RI 試料に使用したアルミニウム製容器はいずれも製造部が設計, 製作して従来の原子炉照射に使用していた容器であり, "カプセル" と呼称して材料試験炉部が JMTR 照射用に設計, 製作した各種の照射用キャップセル<sup>1)</sup> と区別することにした。上記の RI 試料はいずれも照射用キャップセルに熱溶接により密封した。これらの関係を一括したターゲットの種類別包装標準を Table 3 に, 水送管照射以外のターゲットの包装状態を Fig. 1 に略図にして示す。

金, 三酸化モリブデンターゲットの一部および酸化マグネシウム, コバルト針状線源用ターゲットは水送管照射に使用された。水送管照射される金線はすべてさし込み式インナーカプセルに入れ, アルミニウム箔で包み, アルミニウムスペーサーと共に, ラビットキャップセルにヘリウム置換後, 溶接によって封入した。酸化マグネシウムおよび三酸化モリブデンは巻きしめ式

量が多く JMTR を主力ないし併用しないと需要を確保することの困難な RI ( $^{32}\text{P}$ ,  $^{99}\text{Mo}$ ,  $^{131}\text{I}$ ,  $^{198}\text{Au}$  など), さらに JMTR を利用すれば将来有望な製品を得ることが可能と思われる RI ( $^{58}\text{Co}$ ,  $^{113}\text{Sn}$ ,  $^{182}\text{Ta}$  など) の製造用ターゲットである。

ターゲットとして元素状のものは金, 亜鉛, ニッケル, コバルト, クロム, カドミウム, 銀, 白金, 鉄, スズ, イリジウム, 硫黄, 酸化物としては酸化タンタル, 酸化サマリウム, 酸化クロム, 三酸化モリブデン, 酸化鉄(III), 二酸化テルル, 酸化水銀(II), 酸化マグネシウムを, そして炭酸塩として炭酸ルビジウム, 炭酸セシウム, 炭酸カルシウム, 炭酸バリウム, 炭酸ストロンチウムを, その他の化学形として窒化アルミニウム, 塩化カリウム, クロム酸カリウムを選定した。また線源用 RI のターゲットとして  $^{192}\text{Ir}$  線源用には  $2\text{mm}\phi \times 2\text{mm}$  のペレット状イリジウムを,  $^{60}\text{Co}$  線源用としては水送管照射用ターゲットとして  $0.46\text{mm}\phi \times 10\text{mm}$  および  $0.91\text{mm}\phi \times 15\text{mm}$  の 2 種類の針状コバルトを選んだ。また炉心内照射用にはウエファ型 ( $8.3\text{mm}\phi \times 23\text{mm}$ ) とペレット型 ( $1\text{mm}\phi \times 1\text{mm}$ ) のコバルトを選定した。これらのターゲットの物理的, 化学的性質, 性状, 純度, 目的生成核種およびそれらの主な用途を Table 1 に示す。

### 3 生成核種および生成量

前記ターゲットを使用した場合の目的生成核種および副反応生成核種, またそれらの半減期, 反応の種類, 核反応断面積, 中性子束  $1 \times 10^{14} \text{n/cm}^2 \cdot \text{sec}$  の場合の飽和生成量, 21 日および 28 日間照射直後の比放射能, 比ガンマ線定数を Table 2 に示す。

### 4 ターゲットの包装

照射のためのターゲットの包装については, 照射中の安全性, 照射後の取扱いの容易さを考慮して材料試験炉部と検討打合せをおこない, 各ターゲットをその性質, 性状に応じて 5 クラスに分類してそれぞれ包装方法を定めた。この分類にしたがって直接包装材として石英アンプル, アルミニウム製インナーカプセル (アルミニウム箔で蓋をおくいあるいは直接カプセルの口をおくっただけのもの) をえらび, さらに冷間圧接型アルミニウム製カプセルに一重あるいは二重に封入した。これらのカプセルまで包装したものを "RI 試料" とした。これら RI 試料に使用したアルミニウム製容器はいずれも製造部が設計, 製作して従来の原子炉照射に使用していた容器であり, "カプセル" と呼称して材料試験炉部が JMTR 照射用に設計, 製作した各種の照射用キャップセル<sup>1)</sup> と区別することにした。上記の RI 試料はいずれも照射用キャップセルに熱溶接により密封した。これらの関係を一括したターゲットの種類別包装標準を Table 3 に, 水送管照射以外のターゲットの包装状態を Fig. 1 に略図にして示す。

金, 三酸化モリブデンターゲットの一部および酸化マグネシウム, コバルト針状線源用ターゲットは水送管照射に使用された。水送管照射される金線はすべてさし込み式インナーカプセルに入れ, アルミニウム箔で包み, アルミニウムスペーサーと共に, ラビットキャップセルにヘリウム置換後, 溶接によって封入した。酸化マグネシウムおよび三酸化モリブデンは巻きしめ式

量が多く JMTR を主力ないし併用しないと需要を確保することの困難な RI ( $^{32}\text{P}$ ,  $^{99}\text{Mo}$ ,  $^{131}\text{I}$ ,  $^{198}\text{Au}$  など), さらに JMTR を利用すれば将来有望な製品を得ることが可能と思われる RI ( $^{58}\text{Co}$ ,  $^{113}\text{Sn}$ ,  $^{182}\text{Ta}$  など) の製造用ターゲットである。

ターゲットとして元素状のものは金, 亜鉛, ニッケル, コバルト, クロム, カドミウム, 銀, 白金, 鉄, スズ, イリジウム, 硫黄, 酸化物としては酸化タンタル, 酸化サマリウム, 酸化クロム, 三酸化モリブデン, 酸化鉄(III), 二酸化テルル, 酸化水銀(II), 酸化マグネシウムを, そして炭酸塩として炭酸ルビジウム, 炭酸セシウム, 炭酸カルシウム, 炭酸バリウム, 炭酸ストロンチウムを, その他の化学形として窒化アルミニウム, 塩化カリウム, クロム酸カリウムを選定した。また線源用 RI のターゲットとして  $^{192}\text{Ir}$  線源用には  $2\text{mm}\phi \times 2\text{mm}$  のペレット状イリジウムを,  $^{60}\text{Co}$  線源用としては水送管照射用ターゲットとして  $0.46\text{mm}\phi \times 10\text{mm}$  および  $0.91\text{mm}\phi \times 15\text{mm}$  の 2 種類の針状コバルトを選んだ。また炉心内照射用にはウエファ型 ( $8.3\text{mm}\phi \times 23\text{mm}$ ) とペレット型 ( $1\text{mm}\phi \times 1\text{mm}$ ) のコバルトを選定した。これらのターゲットの物理的, 化学的性質, 性状, 純度, 目的生成核種およびそれらの主な用途を Table 1 に示す。

### 3 生成核種および生成量

前記ターゲットを使用した場合の目的生成核種および副反応生成核種, またそれらの半減期, 反応の種類, 核反応断面積, 中性子束  $1 \times 10^{14} \text{n/cm}^2 \cdot \text{sec}$  の場合の飽和生成量, 21日および28日間照射直後の比放射能, 比ガンマ線定数を Table 2 に示す。

### 4 ターゲットの包装

照射のためのターゲットの包装については, 照射中の安全性, 照射後の取扱いの容易さを考慮して材料試験炉部と検討打合せをおこない, 各ターゲットをその性質, 性状に応じて 5 クラスに分類してそれぞれ包装方法を定めた。この分類にしたがって直接包装材として石英アンプル, アルミニウム製インナーカプセル (アルミニウム箔で蓋をおくいあるいは直接カプセルの口をおくっただけのもの) をえらび, さらに冷間圧接型アルミニウム製カプセルに一重あるいは二重に封入した。これらのカプセルまで包装したものを "RI 試料" とした。これら RI 試料に使用したアルミニウム製容器はいずれも製造部が設計, 製作して従来の原子炉照射に使用していた容器であり, "カプセル" と呼称して材料試験炉部が JMTR 照射用に設計, 製作した各種の照射用キャップセル<sup>1)</sup> と区別することにした。上記の RI 試料はいずれも照射用キャップセルに熱溶接により密封した。これらの関係を一括したターゲットの種類別包装標準を Table 3 に, 水送管照射以外のターゲットの包装状態を Fig. 1 に略図にして示す。

金, 三酸化モリブデンターゲットの一部および酸化マグネシウム, コバルト針状線源用ターゲットは水送管照射に使用された。水送管照射される金線はすべてさし込み式インナーカプセルに入れ, アルミニウム箔で包み, アルミニウムスペーサーと共に, ラビットキャップセルにヘリウム置換後, 溶接によって封入した。酸化マグネシウムおよび三酸化モリブデンは巻きしめ式

インナーカプセルの蓋の部分を巻きしめずにアルミニウム箔をかぶせて固定し、これを冷間圧接型アルミニウム製インナーカプセル（DL型インナーカプセル<sup>2)</sup>と略す）の長型（三酸化モリブデンの場合は短型）に入れヘリウム置換後、冷間圧接して気密とし、ラビットキャップセルに納めた。亜鉛粒は金線同様、さしこみ式インナーカプセルに入れ、さらにDL型インナーカプセルに入れてヘリウム置換後、気密封入してラビットキャップセルに納めた。コバルト針状ターゲットはグラファイト円柱をコアとしてそれにあけた孔に挿入して、DL型インナーカプセルにグラファイトスペーサーを介して気密封入し、ラビットキャップセルに装填した。DL型インナーカプセルをラビットキャップセルに装填する時は石英綿を耐衝撃材として使用し、かつラビットキャップセルは水中で沈むようにした。

上記いずれの場合も熱中性子束測定用として金箔（Au箔）、コバルト箔（Co箔）をアルミニウム箔で直接包装し、主ターゲットと同居させて照射をおこないブラックスマニターとした。これらのターゲットは水送管照射用、また硫黄、窒化アルミニウムのペレット状ターゲットの使用の場合以外はFig.1の包装状態で技術部工作課に提出された。

## 5 試料の検査

材料試験炉部の定めたRI試料検査基準に従って試料の検査をおこなった。これらの項目は、重量検査、（ターゲット、スペーサー、アルミニウム箔の各重量、総重量など）、もれ検査（グリコールテスト、ヘリウムリークテスト）、寸法検査（カプセルの径、長さ、溶接エッジなど）、印字検査、外観検査がある。さらに包装材の材質についてはミルシートを添付するなどである。試用期間のRI試料検査基準をまとめてTable 4に示す。これらの検査結果は「JMTR照射RI試料検査成績表」に記録され、カプセルに添付して6部宛提出された。

## 6 照射

照射については、目的核種の生成のために必要な熱中性子束、速中性束の区別、必要中性子束、照射期間を定めて材料試験炉部計画課と詳細にわたって打合せをおこない照射位置を定めた。当初定めた照射計画表をTable 5に示す。Table 5のうちキャップセル番号67Mは昭和41年度に計画されたもので、以後、試用期間中に製造部としてRIの製品の製造のために必要なターゲットが68M、70Mと追加された。照射孔は実際の照射では後に示すように一部変更されている。JMTRの運転実績およびサイクル別試料番号をTable 6に示す。

## 7 照射後試験

照射後試験は、JMTRで照射後、最外側のキャップセルまたはバスケットをホットラボで切断して取出した試料についておこなった。これら試料は鉛厚15cmの輸送用容器（約750Kg）に4本宛入れて東海のRI製造棟に運搬された。試験項目としては、取扱いの難易、試料および包装の状態、目的核種の生成量に重点をおいた。生成量に関してはCo箔モニターによる熱

インナーカプセルの蓋の部分を巻きしめずにアルミニウム箔をかぶせて固定し、これを冷間圧接型アルミニウム製インナーカプセル（DL型インナーカプセル<sup>2)</sup>と略す）の長型（三酸化モリブデンの場合は短型）に入れヘリウム置換後、冷間圧接して気密とし、ラビットキャップセルに納めた。亜鉛粒は金線同様、さしこみ式インナーカプセルに入れ、さらにDL型インナーカプセルに入れてヘリウム置換後、気密封入してラビットキャップセルに納めた。コバルト針状ターゲットはグラファイト円柱をコアとしてそれにあけた孔に挿入して、DL型インナーカプセルにグラファイトスペーサーを介して気密封入し、ラビットキャップセルに装填した。DL型インナーカプセルをラビットキャップセルに装填する時は石英綿を耐衝撃材として使用し、かつラビットキャップセルは水中で沈むようにした。

上記いずれの場合も熱中性子束測定用として金箔（Au箔）、コバルト箔（Co箔）をアルミニウム箔で直接包装し、主ターゲットと同居させて照射をおこないブラックスマニターとした。これらのターゲットは水送管照射用、また硫黄、窒化アルミニウムのペレット状ターゲットの使用の場合以外はFig.1の包装状態で技術部工作課に提出された。

## 5 試料の検査

材料試験炉部の定めたRI試料検査基準に従って試料の検査をおこなった。これらの項目は、重量検査、（ターゲット、スペーサー、アルミニウム箔の各重量、総重量など）、もれ検査（グリコールテスト、ヘリウムリークテスト）、寸法検査（カプセルの径、長さ、溶接エッジなど）、印字検査、外観検査がある。さらに包装材の材質についてはミルシートを添付するなどである。試用期間のRI試料検査基準をまとめてTable 4に示す。これらの検査結果は「JMTR照射RI試料検査成績表」に記録され、カプセルに添付して6部宛提出された。

## 6 照射

照射については、目的核種の生成のために必要な熱中性子束、速中性束の区別、必要中性子束、照射期間を定めて材料試験炉部計画課と詳細にわたって打合せをおこない照射位置を定めた。当初定めた照射計画表をTable 5に示す。Table 5のうちキャップセル番号67Mは昭和41年度に計画されたもので、以後、試用期間中に製造部としてRIの製品の製造のために必要なターゲットが68M、70Mと追加された。照射孔は実際の照射では後に示すように一部変更されている。JMTRの運転実績およびサイクル別試料番号をTable 6に示す。

## 7 照射後試験

照射後試験は、JMTRで照射後、最外側のキャップセルまたはバスケットをホットラボで切断して取出した試料についておこなった。これら試料は鉛厚15cmの輸送用容器（約750Kg）に4本宛入れて東海のRI製造棟に運搬された。試験項目としては、取扱いの難易、試料および包装の状態、目的核種の生成量に重点をおいた。生成量に関してはCo箔モニターによる熱

インナーカプセルの蓋の部分を巻きしめずにアルミニウム箔をかぶせて固定し，これを冷間圧接型アルミニウム製インナーカプセル（DL型インナーカプセル<sup>2)</sup>と略す）の長型（三酸化モリブデンの場合は短型）に入れヘリウム置換後，冷間圧接して気密とし，ラビットキャップセルに納めた。亜鉛粒は金線同様，さしこみ式インナーカプセルに入れ，さらにDL型インナーカプセルに入れてヘリウム置換後，気密封入してラビットキャップセルに納めた。コバルト針状ターゲットはグラファイト円柱をコアとしてそれにあけた孔に挿入して，DL型インナーカプセルにグラファイトスペーサーを介して気密封入し，ラビットキャップセルに装填した。DL型インナーカプセルをラビットキャップセルに装填する時は石英綿を耐衝撃材として使用し，かつラビットキャップセルは水中で沈むようにした。

上記いずれの場合も熱中性子束測定用として金箔（Au箔），コバルト箔（Co箔）をアルミニウム箔で直接包装し，主ターゲットと同居させて照射をおこないブラックスマニターとした。これらのターゲットは水送管照射用，また硫黄，窒化アルミニウムのペレット状ターゲットの使用の場合以外はFig.1の包装状態で技術部工作課に提出された。

## 5 試料の検査

材料試験炉部の定めたRI試料検査基準に従って試料の検査をおこなった。これらの項目は，重量検査，（ターゲット，スペーサー，アルミニウム箔の各重量，総重量など），もれ検査（グリコールテスト，ヘリウムリークテスト），寸法検査（カプセルの径，長さ，溶接エッジなど），印字検査，外観検査がある。さらに包装材の材質についてはミルシートを添付するなどである。試用期間のRI試料検査基準をまとめてTable 4に示す。これらの検査結果は「JMTR照射RI試料検査成績表」に記録され，カプセルに添付して6部宛提出された。

## 6 照射

照射については，目的核種の生成のために必要な熱中性子束，速中性束の区別，必要中性子束，照射期間を定めて材料試験炉部計画課と詳細にわたって打合せをおこない照射位置を定めた。当初定めた照射計画表をTable 5に示す。Table 5のうちキャップセル番号67Mは昭和41年度に計画されたもので，以後，試用期間中に製造部としてRIの製品の製造のために必要なターゲットが68M，70Mと追加された。照射孔は実際の照射では後に示すように一部変更されている。JMTRの運転実績およびサイクル別試料番号をTable 6に示す。

## 7 照射後試験

照射後試験は，JMTRで照射後，最外側のキャップセルまたはバスケットをホットラボで切断して取出した試料についておこなった。これら試料は鉛厚15cmの輸送用容器（約750Kg）に4本宛入れて東海のRI製造棟に運搬された。試験項目としては，取扱いの難易，試料および包装の状態，目的核種の生成量に重点をおいた。生成量に関してはCo箔モニターによる熱

インナーカプセルの蓋の部分を巻きしめずにアルミニウム箔をかぶせて固定し，これを冷間圧接型アルミニウム製インナーカプセル（DL型インナーカプセル<sup>2)</sup>と略す）の長型（三酸化モリブデンの場合は短型）に入れヘリウム置換後，冷間圧接して気密とし，ラビットキャップセルに納めた。亜鉛粒は金線同様，さしこみ式インナーカプセルに入れ，さらにDL型インナーカプセルに入れてヘリウム置換後，気密封入してラビットキャップセルに納めた。コバルト針状ターゲットはグラファイト円柱をコアとしてそれにあけた孔に挿入して，DL型インナーカプセルにグラファイトスペーサーを介して気密封入し，ラビットキャップセルに装填した。DL型インナーカプセルをラビットキャップセルに装填する時は石英綿を耐衝撃材として使用し，かつラビットキャップセルは水中で沈むようにした。

上記いずれの場合も熱中性子束測定用として金箔（Au箔），コバルト箔（Co箔）をアルミニウム箔で直接包装し，主ターゲットと同居させて照射をおこないブラックスマニターとした。これらのターゲットは水送管照射用，また硫黄，窒化アルミニウムのペレット状ターゲットの使用の場合以外はFig.1の包装状態で技術部工作課に提出された。

## 5 試料の検査

材料試験炉部の定めたRI試料検査基準に従って試料の検査をおこなった。これらの項目は，重量検査，（ターゲット，スペーサー，アルミニウム箔の各重量，総重量など），もれ検査（グリコールテスト，ヘリウムリークテスト），寸法検査（カプセルの径，長さ，溶接エッジなど），印字検査，外観検査がある。さらに包装材の材質についてはミルシートを添付するなどである。試用期間のRI試料検査基準をまとめてTable 4に示す。これらの検査結果は「JMTR照射RI試料検査成績表」に記録され，カプセルに添付して6部宛提出された。

## 6 照射

照射については，目的核種の生成のために必要な熱中性子束，速中性束の区別，必要中性子束，照射期間を定めて材料試験炉部計画課と詳細にわたって打合せをおこない照射位置を定めた。当初定めた照射計画表をTable 5に示す。Table 5のうちキャップセル番号67Mは昭和41年度に計画されたもので，以後，試用期間中に製造部としてRIの製品の製造のために必要なターゲットが68M，70Mと追加された。照射孔は実際の照射では後に示すように一部変更されている。JMTRの運転実績およびサイクル別試料番号をTable 6に示す。

## 7 照射後試験

照射後試験は，JMTRで照射後，最外側のキャップセルまたはバスケットをホットラボで切断して取出した試料についておこなった。これら試料は鉛厚15cmの輸送用容器（約750Kg）に4本宛入れて東海のRI製造棟に運搬された。試験項目としては，取扱いの難易，試料および包装の状態，目的核種の生成量に重点をおいた。生成量に関してはCo箔モニターによる熱

中性子束の測定とともに直接測定可能なものについてはそのままの状態で生成放射能の測定をおこない、分離精製を要するものについては化学処理をおこなった。取扱いの難易は線量率の測定と輸送用容器の取扱いによって、また試料および包装の状態は肉眼による観察によって判定した。照射キャップセルおよび試料カプセルの大巾を変形は切断時に判明するためにとくに寸法検査はおこなわなかった。生成放射能の測定はとくにことわりのない限り、絶対測定によつて値を較正してある Tracer Lab 社製井戸型電離箱によつておこなつた。

## 8 照射後試験結果

上記の照射および照射後試験で得られた結果を一括して Table 7 に示す。Table 7 および下記のとおり、照射試験のために選定した試料は、上記の照射計画に従つていずれも当初予期した通りとくに問題なく照射をおこなうことができた。また生成量についても中性子束に応じて殆ど予想値が得られており、今後の実用照射のために有効な値が得られた。以下照射順にしたがつて照射後試験結果について述べる。

### 1) 金 (Au) ターゲット

試用期間中の Au の照射結果をまとめて Table 8 に示す。照射後の試料は水送管照射ではラビットキャップセルには外観上大きな変化は認められなかつた。しかし Au ターゲットの直接包装材として使用したさし込み式インナーカプセルは、水送管、垂直孔いずれによる照射の場合も照射後開封できなくなり切断してターゲットを取出すことが必要であった。この原因はラビットキャップセルを含めて外套キャップセルの端栓溶接時の加熱のためと考えられる。同じさし込み式インナーカプセルを電気炉で 300°C で 30 分間加熱したところ 70% が開封できず、残り 30% もアルミニウム管どうしの食い込みのため開封困難という結果が得られた。この現象を防ぐため現在ではさし込み部分を短かくする方法を採用している。Au 箔から求めた各照射孔の 50MW 換算熱中性子束は水送管で  $(8.25 \pm 0.73) \times 10^{13} \text{ n/cm}^2 \cdot \text{sec}$ 、照射孔 M-6 で  $6.7 \times 10^{14} \text{ n/cm}^2 \cdot \text{sec}$ 、照射孔 K-4 で  $1.37 \times 10^{14} \text{ n/cm}^2 \cdot \text{sec}$  であった。

### 2) 亜鉛 (Zn) ターゲット

試用期間中に水送管および照射孔 M-6 で照射した結果を Table 9 に示す。水送管照射での Zn ターゲットは前述の様にさし込み式インナーカプセル、DL 型インナーカプセルに入れられたラビットキャップセルに挿入後溶接で気密に封入された。この際ラビットキャップセル溶接の熱で DL 型インナーカプセルが加熱されアルミニウムが軟化し変形する事態が生じた。こうした例は第 4 サイクルに照射を予定した 025 キャップセルで生じ、キャップセルの再製作が必要であった。第 7 サイクルで照射した 67M-50R-2 より Zn 0.0388 g を溶解して測定した結果、比放射能  $640 \text{ mCi/g}$  Zn の値が得られた。 $^{64}\text{Zn} (\text{n}, \text{p})^{64}\text{Cu}$  反応により水送管の速中性子束の測定をこころみたが  $3 \text{ in} \phi \times 3 \text{ in}$  の NaI (Tl) クリスタルを用いた γ 線スペクトルの測定では  $^{64}\text{Cu}$  を検出することはできなかつた。

### 3) ニッケル (Ni) ターゲット

Ni の照射結果を Table 10 に示す。照射直後の生成量は  $^{58}\text{Co}$  3.84 mCi/g Ni,  $^{63}\text{Ni}$  5.1 mCi/g Ni であった。 $^{58}\text{Ni} (\text{n}, \text{p})^{58}\text{Co}$  反応を利用し放射化断面積を 92 mbarn として  $^{58}\text{Co}$  のバーン

中性子束の測定とともに直接測定可能なものについてはそのままの状態で生成放射能の測定をおこない、分離精製を要するものについては化学処理をおこなった。取扱いの難易は線量率の測定と輸送用容器の取扱いによって、また試料および包装の状態は肉眼による観察によって判定した。照射キャップセルおよび試料カプセルの大巾な変形は切断時に判明するためにとくに寸法検査はおこなわなかった。生成放射能の測定はとくにことわりのない限り、絶対測定によつて値を較正してある Tracer Lab 社製井戸型電離箱によつておこなつた。

## 8 照射後試験結果

上記の照射および照射後試験で得られた結果を一括して Table 7 に示す。Table 7 および下記のとおり、照射試験のために選定した試料は、上記の照射計画に従つていずれも当初予期した通りとくに問題なく照射をおこなうことができた。また生成量についても中性子束に応じて殆ど予想値が得られており、今後の実用照射のために有効な値が得られた。以下照射順にしたがつて照射後試験結果について述べる。

### 1) 金 (Au) ターゲット

試用期間中の Au の照射結果をまとめて Table 8 に示す。照射後の試料は水送管照射ではラビットキャップセルには外観上大きな変化は認められなかつた。しかし Au ターゲットの直接包装材として使用したさし込み式インナーカプセルは、水送管、垂直孔いずれによる照射の場合も照射後開封できなくなり切断してターゲットを取出すことが必要であった。この原因是ラビットキャップセルを含めて外套キャップセルの端栓溶接時の加熱のためと考えられる。同じさし込み式インナーカプセルを電気炉で 300°C で 30 分間加熱したところ 70% が開封できず、残り 30% もアルミニウム管どうしの食い込みのため開封困難という結果が得られた。この現象を防ぐため現在ではさし込み部分を短かくする方法を採用している。Au 箔から求めた各照射孔の 50MW 換算熱中性子束は水送管で  $(8.25 \pm 0.73) \times 10^{13} \text{ n/cm}^2 \cdot \text{sec}$ 、照射孔 M-6 で  $6.7 \times 10^{14} \text{ n/cm}^2 \cdot \text{sec}$ 、照射孔 K-4 で  $1.37 \times 10^{14} \text{ n/cm}^2 \cdot \text{sec}$  であった。

### 2) 亜鉛 (Zn) ターゲット

試用期間中に水送管および照射孔 M-6 で照射した結果を Table 9 に示す。水送管照射での Zn ターゲットは前述の様にさし込み式インナーカプセル、DL 型インナーカプセルに入れられラビットキャップセルに挿入後溶接で気密に封入された。この際ラビットキャップセル溶接の熱で DL 型インナーカプセルが加熱されアルミニウムが軟化し変形する事態が生じた。こうした例は第 4 サイクルに照射を予定した 025 キャップセルで生じ、キャップセルの再製作が必要であつた。第 7 サイクルで照射した 67M-50R-2 より Zn 0.0388 g を溶解して測定した結果、比放射能  $640 \text{ mCi/g Zn}$  の値が得られた。 $^{64}\text{Zn}(n, p)^{64}\text{Cu}$  反応により水送管の速中性子束の測定をこころみたが  $3 \text{ in} \phi \times 3 \text{ in}$  の NaI(Tl) クリスタルを用いた  $\gamma$  線スペクトルの測定では  $^{64}\text{Cu}$  を検出することはできなかつた。

### 3) ニッケル (Ni) ターゲット

Ni の照射結果を Table 10 に示す。照射直後の生成量は  $^{58}\text{Co}$  3.84 mCi/g Ni,  $^{63}\text{Ni}$  5.1 mCi/g Ni であった。 $^{58}\text{Ni}(n, p)^{58}\text{Co}$  反応を利用し放射化断面積を 9.2 mbarn として  $^{58}\text{Co}$  のバーン

アウトの補正をして求めた 50 MW 換算速中性子束は、照射孔 M-6 で  $\sim 3 \times 10^{13} \text{ n/cm}^2 \cdot \text{sec}$ 、照射孔 J-7-1 で  $2.5 \times 10^{14} \text{ n/cm}^2 \cdot \text{sec}$  であった。

#### 4) コバルト (Co) ターゲット

熱中性子束モニター用 Co 箔としては Johnson Matthey 社製 1 mm $\phi$  の Co 線を溶解後グラファイト電極に電着した 3.0 mg/cm $^2$  程度の自家製の電着 Co 箔を使用し、この 0.2 mg をアルミニウム箔で包み各試料と同時に照射した。照射後、 $^{60}\text{Co}$  の生成量を測定し 50 MW 換算熱中性子束をもとめた。

Co 針状ターゲットは 0.91 mm $\phi \times 15 \text{ mm}$  (8.5 mg), 0.46 mm $\phi \times 10 \text{ mm}$  (1.5 mg) の 2 種類を使用し、各サイクル毎に 1 種類につき各 3 本のターゲットを水送管で照射した。照射結果を Table 11 に示す。この結果から 50 MW 運転時に、前者のターゲットを使用して 1 本当り 2.0 mCi の線源を得るには約 3.4 時間の照射を必要とし、1 本当り 1.0 mCi の線源のためには約 1.7 時間、1 本当り 5 mCi の線源を得るためにには約 8 時間の照射を必要とするという結論が導かれた。また後者のターゲットを使用して 1 本当り 1 mCi の線源を得るためにには約 1.0 時間の照射を必要とすることがわかった。

Co 大線源用ターゲットとしては、8.3 mm $\phi \times 2.3 \text{ mm}$  のウエファ状 Co と 1 mm $\phi \times 1 \text{ mm}$  のペレット状 Co の 2 種類を使用した。ターゲットはグラファイトスペーサーによって分離装填する方式を採用し、ペリリウム反射体領域の照射孔において照射をおこなった。照射結果を Table 7 (RI sample No. 67, 85) に示す。Co 針状およびペレット型ターゲットの生成量の測定には Tracer Lab 社製井戸型電離箱で較正值の求められている株式会社応用技研製井戸型電離箱を使用した。また Co ウエファ型ターゲットの場合は Victoreen Instrument 社製 Radoncon : Model 555, Chamber : 555-1 HA により測定した線量率から生成量を求めた。

#### 5) 酸化タンタル ( $\text{Ta}_2\text{O}_5$ ) ターゲット

試用期間中に  $\text{Ta}_2\text{O}_5$  3, 4 mg を石英アンプルに入れ第 3, 第 5 および第 7 サイクルにおいて照射孔 M-6 および M-7 で照射した。 $^{182}\text{Ta}$  の生成量は、67M-45R-3 の試料を石英アンプルのまゝ Ge (Li) 検出器を用い、90 mm の距離において、ア線スペクトルを測定した。同じ条件で絶対値のわかっている  $^{60}\text{Co}$  を測定し、 $^{60}\text{Co}$  の 1.17 Mev および 1.33 Mev の光電ピークの計数効率から  $^{182}\text{Ta}$  の 1.139, 1.122, 1.222 + 1.231 Mev の光電ピークの計数効率を求め  $^{182}\text{Ta}$  の放射能量を求めた。この試料で井戸型電離箱を較正し、他の 2 試料の放射能量を知った。照射結果を Table 12 に示す。Table 12 に示した様に同時に照射した Co 箔から求めた熱中性子束と  $^{182}\text{Ta}$  生成量から求めた熱中性子束では、後者が 1/2 以下になっている。これは  $^{181}\text{Ta}$  ( $n, \gamma$ )  $^{182}\text{Ta}$  ( $n, \gamma$ )  $^{183}\text{Ta}$  反応のため  $^{182}\text{Ta}$  が照射中バーンアウトする補正を加えていないためである。

#### 6) 塩化カリウム (KCl) ターゲット

試用期間中に 0.5 から 2.1 g の KCl ターゲットを 4 回照射した。結果を Table 13 に示す。第 3 サイクルで照射した試料は開封後インナーカプセルの取出しができず廃棄した。その他 3 回の照射後試料はいずれも JRR-2, JRR-3 で照射した場合と同様に黒紫色に変化していた。同時に照射した Co 箔から求めた熱中性子束より  $^{35}\text{Cl}$  ( $n, p$ )  $^{35}\text{S}$  反応を用いて求めた熱中性

子束の方が高い値を示していて、 $^{35}\text{S}$ 生成量は予想値の約2倍となった。照射孔M-6を使用し、50MW時1サイクル照射を実施すれば20Ci/g KCと以上の $^{35}\text{S}$ を得られることがわかったが、 $^{35}\text{Cl}(\text{n}, \alpha)^{32}\text{P}$ 反応により生成する $^{32}\text{P}$ の生成量も高くなるので、照射孔の選定または崩壊時間の選定が必要である。

#### 7) 窒化アルミニウム ( $\text{AlN}$ ) ターゲット

キャップセル番号67Mのターゲットとしては粉末のまゝの $\text{AlN}$ を使用し、キャップセル番号70Mのターゲットとしてはペレット形に成型焼結した $\text{AlN}$ を使用した。ペレットに成型したのは照射後試料の取扱いの容易さおよび照射の際の試料の熱伝導性を高めるためである。試用期間中に照射した $\text{AlN}$ ターゲットの照射結果をTable 14に示す。照射後、ターゲットからの放出ガス量を測定した。ガスの成分としては空気が得られた。 $nvt$ とガス量との関係はかならずしも明らかでないが、この程度のガス量ではキャップセルの安全性は充分に保たれることができた。

#### 8) 酸化サマリウム ( $\text{Sm}_2\text{O}_3$ ) ターゲット

試用期間中に第4、第6、第7から第9サイクルと3回の照射をおこなった。 $\text{Sm}_2\text{O}_3$ は各々石英アンプルに封入して照射し、その量は9.4mg, 11.1mg, 5.2mgであった。第6サイクルで照射した $\text{Sm}_2\text{O}_3$  11.1mgを照射後150日間放置し、 $^{153}\text{Sm}$  ( $T_{1/2}=47.1\text{ h}$ ),  $^{155}\text{Sm}$  ( $T_{1/2}=23.5\text{ min}$ )を崩壊させた後開封し、塩酸で溶解、希釈し $\text{Sm}_2\text{O}_3$ で $2.22 \times 10^{-3}\text{ mg}$ 相当の量を2mℓ溶液とし、 $\text{NaI}(\text{Tl})$  3inφ×3inクリスタルを用いてγ線スペクトルを測定した。照射後150日を経過すれば $^{145}\text{Sm}$  ( $T_{1/2}=340\text{ d}$ )と $^{154}\text{Sm}$  ( $n, \gamma$ )  $^{155}\text{Sm} \xrightarrow{\beta} ^{155}\text{Eu}$ 反応により生成する $^{155}\text{Eu}$  ( $T_{1/2}=1.7\text{ y}$ )以外は検出されないはずであるが、 $^{152}\text{Eu}$  ( $T_{1/2}=12.7\text{ y}$ )と $^{154}\text{Eu}$  ( $T_{1/2}=16\text{ y}$ )が同時に検出された。Johnson Matthey社製 $\text{Sm}_2\text{O}_3$ ターゲットは不純物としてEu8.5ppmを含んでおり、 $^{151}\text{Eu}$  ( $n, \gamma$ )  $^{152}\text{Eu}$ ,  $^{153}\text{Eu}$  ( $n, \gamma$ )  $^{154}\text{Eu}$ 反応により $^{152}\text{Eu}$ と $^{154}\text{Eu}$ が生成するためである。照射後150日での各核種の生成量は計算によると、 $^{154}\text{Sm}$  3.66mCi/g  $\text{Sm}_2\text{O}_3$ ,  $^{155}\text{Eu}$  4.47mCi/g  $\text{Sm}_2\text{O}_3$ ,  $^{152}\text{Eu}$  19.2mCi/g  $\text{Sm}_2\text{O}_3$ ,  $^{154}\text{Eu}$  0.1mCi/g  $\text{Sm}_2\text{O}_3$ となる。したがって化学処理によりSmを分離しても不純物Euから生成される $^{152}$ ,  $^{154}\text{Eu}$ のため無担体 $^{155}\text{Eu}$ をこのターゲットから製造することはできないことがわかった。なお前期の計算にはSmの熱中性子吸収断面積が5,500 barnと大きく、中性子の自己吸収効果が生じることの補正は加えていない。

#### 9) 炭酸ルビジウム ( $\text{Rb}_2\text{CO}_3$ ) ターゲット

試用期間中に第4サイクルおよび第6サイクルと2回の照射をおこなった。照射結果をTable 7に示す。第6サイクルで照射した試料は開封したところ、石英アンプルが破損していたので廃棄した。アンプルの破損は内圧上昇その他の影響によるものではなく、衝撃による破損の仕方であった。

#### 10) 炭酸セシウム ( $\text{Cs}_2\text{CO}_3$ ) ターゲット

試用期間中第4、第6サイクルおよび第7から第9サイクルまでと3回の照射をおこなった。照射後 $\text{Cs}_2\text{CO}_3$ ターゲットは黒化し、石英アンプルに付着して回収困難であったがその他の外観上の変化は認められなかった。照射結果をTable 15に示す。

#### 11) クロム ( $\text{Cr}$ ), クロム酸カリウム ( $\text{K}_2\text{CrO}_4$ ), 酸化クロム ( $\text{Cr}_2\text{O}_3$ ) ターゲット

試用期間中にCr金属(天然ターゲット),  $K_2CrO_4$ 結晶粉末(天然ターゲット),  $Cr_2O_3$ 粉末( $^{50}Cr$ 95.9%濃縮安定同位体)の3種をターゲットとして照射をおこなった。これらの照射結果をTable 16に示す。照射した  $K_2CrO_4$  ターゲットは溶解の際に不溶性の残渣を少量ながらともない、また  $Cr_2O_3$  ターゲットは通常の方法では溶解しなくなつた。しかしながら  $^{50}Cr$  95.9%濃縮安定同位体をターゲットとして使用すれば約300 Ci/g Cr の比放射能の  $^{51}Cr$  が得られることがわかつた。

#### 12) 炭酸カルシウム( $CaCO_3$ )ターゲット

試用期間中に5回の照射をおこなつた。その照射実績および試験結果をTable 17に示す。この結果から $^{44}Ca$ を90%程度に濃縮したターゲットを使用し、照射時間を数サイクルとすれば1 Ci/g Ca の高比放射能の  $^{45}Ca$  を製造することが可能である。

#### 13) カドミウム(Cd)ターゲット

試用期間中にCdターゲットは第6サイクルと第7から第9サイクルの2回の照射をおこなつた。その照射結果をTable 18に示す。キャップセル番号67M-49R-4で照射した11.6 mgのCdを王水で加熱溶解した。そして希釀後1部を採取し、 $NaI(Tl)$  3 in  $\phi \times$  3 inクリスタルを用いて線スペクトルを測定した。 $^{107}Cd$  ( $T_{1/2}=6.7\text{ h}$ ),  $^{115}Cd$  ( $T_{1/2}=53\text{ h}$ ),  $^{117}mCd$  ( $T_{1/2}=3.0\text{ h}$ )を崩壊させるため、129日間放置したのち、測定を行つた。この結果  $^{115}mCd$  の照射直後の比放射能は27.3 mCi/g Cd であった。同時に照射したCo箔から求めた熱中性子束にはTable 18に示したように大きな差があり、熱中性子利用率はそれぞれ0.163, 0.060 であった。したがつて照射孔M-6を使用し50MW運転で28日照射をおこなつても、約100 mCi/g Cd の比放射能の  $^{115}mCd$  しか得られないと予想される。

#### 14) 銀(Ag)ターゲット

試用期間中に第6サイクルと第8から第9サイクルまでの2回照射をおこない、第6サイクルで照射した33.1 mgのAgターゲットを化学処理し測定した。これらの照射実績と試験結果をTable 19に示す。

#### 15) 三酸化モリブデン( $MoO_3$ )ターゲット

試用期間中に第7, 第8および第9サイクルと各1サイクルずつ、および第8サイクル中に水送管で10時間1回、計4回の照射をおこなつた。これらの照射結果をTable 20に示す。キャップセル番号70M-80R-3として照射した  $MoO_3$  1.0023 g を化学処理した。照射した  $MoO_3$  ターゲットは金属光沢の混ざつた黒色に変化していく通常の化学処理では溶解しなかつた。これは放射線によって還元されたためと考えられたので、水酸化ナトリウム水溶液に過酸化水素を加え酸化したところ溶解させることができた。照射終了後4時間経過した時点で、一部( $MoO_3$  0.400 mg相当)を分取して  $NaI(Tl)$  3 in  $\phi \times$  3 inクリスタルを用いて線スペクトルを測定したが  $^{92}Nb$ ,  $^{99}Mo$ — $^{99}mTc$  以外は検出されなかつた。 $^{92}Nb$  は  $^{92}Mo$  ( $n, p$ )  $^{92}Nb$  反応により生成されたもので、照射直後の  $^{92}Nb/^{99}Mo$  の比率は0.11%で、 $^{99}Mo$  の放射化学的純度は99%以上であることがわかつた。また  $^{92}Nb$  の生成量から求めた速中性子束は50MW換算で照射孔I-11で  $4.3 \times 10^{18} n/cm^2 \cdot sec$  となつた。50MW運転で照射孔I-11で  $MoO_3$  を照射した場合  $^{99}Mo$  の比放射能は照射直後5,6 Ci/g Mo と予想される。

#### 16) 白金(Pt)ターゲット

試用期間中、第7サイクルでキャブセル番号67M-50R-3を照射孔M-6で17d15h 14min(30MW)照射した。Ptターゲットの量は0.0161gであり、112日間放置後、王水で溶解し3in $\phi$  $\times$ 3inNaI(T $\ell$ )クリスタルを用いて $\gamma$ 線スペクトルを測定した。同時に照射したCo箔から求めた熱中性子束は $2.62 \times 10^{14} n/cm^2 \cdot sec$ (30MW)であり、この値を使用して照射直後の生成量を計算すると、 $^{191}\text{Pt}$ (T $1/2=3.00\text{d}$ )3.9Ci/g Pt,  $^{193}\text{mPt}$ (T $1/2=4.3\text{d}$ ),  $^{195}\text{mPt}$ (T $1/2=3.5\text{d}$ )7.8Ci/g Pt/ $^{197}\text{Pt}$ (T $1/2=18\text{h}$ )4.4Ci/g  $^{199}\text{Pt}$ (T $1/2=31\text{min}$ )6Ci/g Pt,  $^{199}\text{Au}$ (T $1/2=3.14\text{d}$ )6Ci/g Ptとなるはずである。112日間放置後測定したターゲットからは照射直後に換算して5.5mCi/g Ptだけの $^{192}\text{Ir}$ が検出された。この $^{192}\text{Ir}$ がPtターゲット中の不純物として $^{191}\text{Ir}$ (n, $\gamma$ ) $^{192}\text{Ir}$ 反応により生成されたのか、Ptターゲット自身の $^{192}\text{Pt}$ (n,p) $^{192}\text{Ir}$ 反応によって生成されたのかは確認していない。無担体の $^{199}\text{Au}$ を製造しようとする場合、50MWで照射孔M-6でPtターゲットを照射し、抽出法で $^{199}\text{Au}$ を分離精製すれば約10Ci/g Ptで $^{199}\text{Au}$ が得られることがわかつた。

#### 17) 鉄(Fe),酸化鉄(III)(Fe<sub>2</sub>O<sub>3</sub>)ターゲット

試用期間中、FeまたはFe<sub>2</sub>O<sub>3</sub>ターゲットは4回の照射をおこなった。その照射結果をTable 21に示す。第5サイクルで照射した試料(キャブセル番号67M-23R-3, Fe 6.1mg)を濃塩酸と過酸化水素で溶解後、一部をとってNaI(T $\ell$ )3in $\phi$  $\times$ 3inクリスタルを用いて $\gamma$ 線スペクトルを測定し、 $^{58}\text{Fe}$ および $^{54}\text{Mn}$ の放射能を求めた。天然ターゲットに比べて266倍の濃縮に相当する82.48%の $^{58}\text{Fe}$ を含むFe<sub>2</sub>O<sub>3</sub>ターゲットからは18Ci/g Fe<sub>2</sub>O<sub>3</sub>の $^{59}\text{Fe}$ が得られた。したがって50MWで1サイクル28日間の運転が行なわれた場合には2サイクル連続照射を実施すれば、このターゲットで30Ci/g Feの $^{59}\text{Fe}$ を得ることが可能である。しかし $^{54}\text{Mn}$ と $^{55}\text{Fe}$ の生成する割合についてはさらに検討が必要である。

#### 18) スズ(Sn)ターゲット

試用期間中、Snターゲットは石英アンプルを直接包装材として、第5と第6サイクルで2回の照射をおこなった。照射中の熱でSnターゲットは溶融していた(Snの融点231.9°C)。Snの照射結果をTable 22に示す。第5サイクルで照射したキャブセル番号68M-23R-3のターゲット0.0650gを分取して5N塩酸で溶解し、NaI(T $\ell$ )3in $\phi$  $\times$ 3inクリスタルを用いて $\gamma$ 線スペクトルを測定した。この結果 $^{113}\text{Sn}$ (n, $\gamma$ ) $^{125}\text{Sn}$ (T $1/2=9.5\text{m}$ ) $\beta^-$  $^{125}\text{Sb}$ (T $1/2=2.07\text{y}$ )反応により生成した無担体の $^{125}\text{Sb}$ が検出された。この結果から照射直後の放射能は $^{113}\text{Sn}$ 3.81mCi/g Sn,  $^{125}\text{Sb}$ 7.16mCi/g Snと求められた。

#### 19) 炭酸バリウム(BaCO<sub>3</sub>)ターゲット

試用期間中、第7から第9サイクルで照射孔J-7-1でキャブセル番号67M-53R-3で115mgのBaCO<sub>3</sub>を1回照射したが測定はおこなわなかつた。

#### 20) イリジウム(Ir)ターゲット

試用期間中、第2, 第3, 第4, 第7および第9の各サイクルで照射をおこなつた。照射孔は照射試験に先立ち、臨界実験装置により熱中性子束分布を測定し、ペリリウム反射体の第一層目にある照射孔I-11で照射することに決定した。照射孔内での照射位置は、熱中性子束の最大分布を持ちかつ比較的分布の変動の小さい中段の位置(I-11-3)を使用した。ターゲット

としては  $2\text{mm}\phi \times 2\text{mm}$  ( 約  $140\text{mg}$  ) のペレット状 Ir ,  $2\text{mm}\phi \times 0.2\text{mm}$  ( 約  $14\text{mg}$  ) のウエファ状 Ir を使用した。これらを第 4 サイクルまではグラファイト円柱のコアを、第 7 サイクル以降はアルミニウム円柱のコアにあけた孔にアルミニウムスペーサーと交互に挿入して照射した。グラファイトコア使用の時には、照射後約半数のターゲットの表面にグラファイトが付着し、超音波洗浄によつても剥離できないという現象を生じた。しかしアルミニウムコアを使用した場合には異常を生じなかつた。照射結果を Table 23 に示す。Table 中の生成放射能の値は各サイクルの照射ターゲットの総数から求めた照射直後の放射能の平均値である。第 7 および第 9 サイクルで照射したウエファ状ターゲットの比放射能は、ペレット状線源の比放射能の約 2.1 から 2.6 倍の値を示した。なお生成した放射能の測定には Co ウエファ型ターゲットの場合と同様に Victoreen Instrument 社製 Radocon Model 555-1HA を使用して線量率を求めこの値から生成量を求めた。

### 2.1) 二酸化テルル ( $\text{TeO}_2$ ) ターゲット

試用期間中、第 3 , 第 4 , 第 5 , 第 7 および第 8 サイクルでキャップセル当り  $10\text{g}$  から  $30\text{g}$  の照射をおこなつた。ターゲットの容器は、DL型インナーカップセル、冷間圧接型アルミニウム製カップセル ( 以下 DL型アウターカップセル<sup>2)</sup> と略す ) 、および照射用キャップセルといずれもアルミニウム製の三重の容器から成つてゐる。これらのカップセル、キャップセルのそれぞれについて中の空気をヘリウムで置換したのち、DL型アウターカップセルを冷間圧接により、また照射用キャップセルを熱溶接により気密に封じた。照射結果を Table 24 に示す。第 5 サイクルで照射したキャップセル番号 68M-8R の  $\text{TeO}_2$  ターゲットは外観上 JRR-2 の垂直照射孔 VT-9 で照射孔の中に入れられた循環しない冷却水に漬けられた状態で照射した試料と色、形状が類似しているが、第 7 および第 8 サイクルで照射孔 I-11 で照射したターゲットは一部黒く変色すると共に固化しているのが認められた。照射した試料はいづれも通常の製造方法で処理することが可能であることが確かめられた。

### 2.2) 硫黄 (S) ターゲット

試用期間中、第 3 , 第 5 , 第 7 および第 9 サイクルでキャップセル当り、5 から  $15\text{g}$  の照射をおこなつた。S ターゲット照射容器として DL型インナーカップセルを用い、この中に 4 ケあるいは 1 ケの孔をあけたアルミニウムスペーサーを入れ、この孔に粉末の S を挿入したのち、ヘリウム置換して冷間圧接した。これをさらにアルミニウム製照射用キャップセル<sup>3)</sup> に入れ熱溶接して気密封入した。照射試験に先立つて材料試験炉部では、第 3 サイクルで特に設計製作した計測付キャップセル<sup>4)</sup> に製造部の提供したターゲットを使用して照射中の試料の温度を測定し照射の安全性を確かめた。その結果から熱伝導率が良いと考えられる  $6\text{mm}\phi$  の孔 4 ケをあけたスペーサーを使用し、この孔にターゲットを挿入して第 5 , 第 6 サイクルの照射をおこなつた。1 カップセル当り  $5\text{g}$  の S の照射では、照射中発熱した S は気化して全部冷却効果の良い蓋の部分に固着していた。第 6 サイクルで照射した 1 カップセル  $10\text{g}$  の S の照射では発熱量が多く S はスペーサーにあけた 4 ケの孔の中に固着していた。第 7 および第 8 サイクルではターゲットの挿入部分を  $12\text{mm}\phi$  の孔を中心に 1 ケだけあけたスペーサーとカップセルを一体化した構造のカップセルを用い、1 体のカップセル当り  $15\text{g}$  の S を照射した。第 7 サイクルで照射したキャップセル番号 70M-12R-3 および 4 を化学処理した結果、照射直後の  $^{32}\text{P}$  の生成量は  $520\text{mCi}/$

g Sであることが見出された。これらの照射結果をTable 25に示す。

### 23) 酸化第二水銀 ( $HgO$ ) ターゲット

$HgO$  ターゲットは試用期間の最後である第9サイクルから第10サイクルにかけて2サイクル連続で照射をおこなった。 $HgO$  6.23 mg を石英アンプルに減圧封入しステンレス鋼製容器に入れた上で、DL型アウターカップセルさらに照射用キャップセルに熱溶接封入した状態で照射した。

### 24) 炭酸ストロンチウム ( $SrCO_3$ ) ターゲット

$SrCO_3$  ターゲットは $^{84}Sr$  7.5.6% の濃縮安定同位体を使用した。試用期間の最後の第9サイクルから第10サイクルにかけて2サイクル連続で照射をおこなった。

### 25) 酸化マグネシウム ( $MgO$ ) ターゲット

試用期間中に水送管の速中性子束を求めるため、第4, 第6および第8サイクルでラビットキャップセル番号 025, 027, 029 と3回の照射をおこなった。 $^{24}Mg(n, p)^{24}Na$  反応を利用して速中性子束は 50 MW換算で  $9.1 \times 10^{12} n/cm^2 \cdot sec$  相当であるという結果を得た。これは同時に照射したアルミニウム箔から $^{27}Al(n, \alpha)^{24}Na$  反応を利用して求めた値と 2% の誤差範囲で一致した。

## 9 照射孔と中性子束

垂直照射孔 M-6, M-7, J-7, K-4 および I-11 の熱中性子束を Co 箔で実測し、50 MW 運転時に換算して Fig. 2 に示す。実際に照射したターゲットから求めた中性子束は Table 7 にまとめて示したのでこゝでは省略する。また水送管の中性子束を照射試料の実測値から求めて、50 MW 時に換算した値を Table 26 にまとめて示す。

$Au, Zn, KCl, Cr, MoO_3, Cd, Sm_2O_3$  などのターゲットの場合は、これらの主生成量から求めた熱中性子束と、同時に照射した Co 箔から求めた熱中性子束とでは他の原子炉における照射の場合と同様に相違が見られるので、生成量は実測値から推定する方法が良いと考えられる。

最後に総括して、試用期間中の照射結果から推定した 50 MW 運転時の核種別生成量を Table 27 に示す。

## 10 問題点の検討

試用期間中の照射試験で生じた支障およびその検討内容を以下に記した。これらはいずれも照射後試料の取扱いの際に支障となるものではあるが照射の時の安全性という観点からは問題にはならないと考えられる。

### 1) 試料直接包装材

#### 1) さし込み式インナーカップセル

外套キャップセル密封時の溶接熱、照射中のア発熱などのため約 90% が開封不可能となった。これを防ぐためさし込み部分を短かくすることで解決した。

g Sであることが見出された。これらの照射結果をTable 25に示す。

#### 23) 酸化第二水銀 ( $HgO$ ) ターゲット

$HgO$  ターゲットは試用期間の最後である第9サイクルから第10サイクルにかけて2サイクル連続で照射をおこなった。 $HgO$  2.3 mg を石英アンプルに減圧封入しステンレス鋼製容器に入れた上で、DL型アウターカップセルさらに照射用キャップセルに熱溶接封入した状態で照射した。<sup>2)</sup>

#### 24) 炭酸ストロンチウム ( $SrCO_3$ ) ターゲット

$SrCO_3$  ターゲットは<sup>84</sup>Sr 7.5.6% の濃縮安定同位体を使用した。試用期間の最後の第9サイクルから第10サイクルにかけて2サイクル連続で照射をおこなった。

#### 25) 酸化マグネシウム ( $MgO$ ) ターゲット

試用期間中に水送管の速中性子束を求めるため、第4, 第6および第8サイクルでラビットキャップセル番号025, 027, 029と3回の照射をおこなった。<sup>24</sup>Mg (n, p)<sup>24</sup>Na 反応を利用して速中性子束は 50MW換算で  $9.1 \times 10^{12} n/cm^2 \cdot sec$  相当であるという結果を得た。これは同時に照射したアルミニウム箔から<sup>27</sup>Al (n,  $\alpha$ )<sup>24</sup>Na 反応を利用して求めた値と 2% の誤差範囲で一致した。

## 9 照射孔と中性子束

垂直照射孔 M-6, M-7, J-7, K-4 および I-11 の熱中性子束を Co 箔で実測し、50MW 運転時に換算して Fig. 2 に示す。実際に照射したターゲットから求めた中性子束は Table 7 にまとめて示したのでこゝでは省略する。また水送管の中性子束を照射試料の実測値から求めて、50MW時に換算した値を Table 26 にまとめて示す。

Au, Zn, KCl, Cr, MoO<sub>3</sub>, Cd, Sm<sub>2</sub>O<sub>3</sub> などのターゲットの場合は、これらの主生成量から求めた熱中性子束と、同時に照射した Co 箔から求めた熱中性子束とでは他の原子炉における照射の場合と同様に相違が見られるので、生成量は実測値から推定する方法が良いと考えられる。

最後に総括して、試用期間中の照射結果から推定した 50MW 運転時の核種別生成量を Table 27 に示す。

## 10 問題点の検討

試用期間中の照射試験で生じた支障およびその検討内容を以下に記した。これらはいずれも照射後試料の取扱いの際に支障となるものではあるが照射の時の安全性という観点からは問題にはならないと考えられる。

#### 1) 試料直接包装材

##### 1) さし込み式インナーカップセル

外套キャップセル密封時の溶接熱、照射中の  $\gamma$  発熱などのため約 90% が開封不可能となった。これを防ぐためさし込み部分を短かくすることで解決した。

g Sであることが見出された。これらの照射結果をTable 25に示す。

#### 23) 酸化第二水銀 ( $HgO$ ) ターゲット

$HgO$  ターゲットは試用期間の最後である第9サイクルから第10サイクルにかけて2サイクル連続で照射をおこなった。 $HgO$  6.23 mg を石英アンプルに減圧封入しステンレス鋼製容器に入れた上で、DL型アウターカップセルさらに照射用キャップセルに熱溶接封入した状態で照射した。

#### 24) 炭酸ストロンチウム ( $SrCO_3$ ) ターゲット

$SrCO_3$  ターゲットは $^{84}Sr$  7.5.6% の濃縮安定同位体を使用した。試用期間の最後の第9サイクルから第10サイクルにかけて2サイクル連続で照射をおこなった。

#### 25) 酸化マグネシウム ( $MgO$ ) ターゲット

試用期間中に水送管の速中性子束を求めるため、第4, 第6および第8サイクルでラビットキャップセル番号025, 027, 029と3回の照射をおこなった。 $^{24}Mg(n, p)^{24}Na$  反応を利用して速中性子束は50MW換算で $9.1 \times 10^{12} n/cm^2 \cdot sec$  相当であるという結果を得た。これは同時に照射したアルミニウム箔から $^{27}Al(n, \alpha)^{24}Na$  反応を利用して求めた値と2%の誤差範囲で一致した。

### 9 照射孔と中性子束

垂直照射孔M-6, M-7, J-7, K-4およびI-11の熱中性子束をCo箔で実測し、50MW運転時に換算してFig. 2に示す。実際に照射したターゲットから求めた中性子束はTable 7にまとめて示したのでこゝでは省略する。また水送管の中性子束を照射試料の実測値から求めて、50MW時に換算した値をTable 26にまとめて示す。

$Au, Zn, KCl, Cr, MoO_3, Cd, Sm_2O_3$ などのターゲットの場合は、これらの主生成量から求めた熱中性子束と、同時に照射したCo箔から求めた熱中性子束とでは他の原子炉における照射の場合と同様に相違が見られるので、生成量は実測値から推定する方法が良いと考えられる。

最後に総括して、試用期間中の照射結果から推定した50MW運転時の核種別生成量をTable 27に示す。

### 10 問題点の検討

試用期間中の照射試験で生じた支障およびその検討内容を以下に記した。これらはいずれも照射後試料の取扱いの際に支障となるものではあるが照射の時の安全性という観点からは問題にはならないと考えられる。

#### 1) 試料直接包装材

##### 1) さし込み式インナーカップセル

外套キャップセル密封時の溶接熱、照射中のア発熱などのため約90%が開封不可能となつた。これを防ぐためさし込み部分を短かくすることで解決した。

## II) 巻きしめ式インナーカブセル

a) アルミニウム箔をかぶせて蓋をしているが、箔をしめた部分からゆるみ、ターゲットがインナーカブセルから飛散した(67M-46R-5, CaCO<sub>3</sub>の場合)。

b) DL型アウターカブセルの開封切断部の“バリ”のため、インナーカブセルを取り出せなかつた(67M-53R-3, Fe粉末の場合)。

## III) 蓋のせ式インナーカブセル

アルミニウム箔で蓋および胴部を包んでいるが箔がゆるんで蓋がずれ、ターゲットがインナーカブセルから飛散した(67M-53R-3, Fe粉末の場合)。

## IV) 石英アンプル

衝撃によつたと考えられるが、アンプル破損が1回起つた(67M-48R-2, Rb<sub>2</sub>CO<sub>3</sub>の場合)。

## 2) キャブセル

## I) 水力ラピットキャブセル

a) ヘリウム封入孔の溶接部分が照射の際の衝撃で1~2mm凹み、気密が破壊されるおそれがあつたが現実に水の入つた例はなかつた。

b) 長型のDL型インナーカブセルを使用すると、ラピットキャブセル溶接時の熱で底部がふくらみ破損しことがあつた。短型のカブセルでは起らないのでラピットキャブセルの端栓部までの距離が問題になると考へられる。

II) TeO<sub>2</sub>照射用キャブセル

TeO<sub>2</sub>照射用キャブセルを溶接した際、その熱でDL型インナーおよびアウターカブセルが共に変形し気密が保てなかつた(70M-10R-2, 3, 5の場合)。この対策としてヘリウム置換封入を高圧から常圧封入に改めて解決した。

## 11 あとがき

JMTRの試用期間中に照射したRI関係の照射試験およびその結果について記した。これらはJMTRを利用するRI関係の代表者の立場で、JMTRのRI関係一般照射利用の面からまとめたものである。したがつて個々の試料についてはRI製造に必要な面からは現在もなお詳細な検討が続けられているものもあり、それらの結果については別の報告によることにしたい。個々の試料についての照射試験結果は、試用期間中を通してすべての面で予想と大きく異なつたものではなく、いずれの試料も安全に照射されたことを示している。しかしながら今後この結果に基いて50MW運転時の実用照射がおこなわれることになるが、試料によっては照射中の挙動の検討がさらに必要であろう。

## 謝辞

RIの照射試験計画をたてるに当つて御協力下さつた材料試験炉部計画課の諸氏、また照射用キャブセルの設計、試験および検査について御協力下さつた材料試験炉部照射第1課、第3

## II) 巻きしめ式インナーカプセル

a) アルミニウム箔をかぶせて蓋をしているが、箔をしめた部分からゆるみ、ターゲットがインナーカプセルから飛散した(67M-46R-5, CaCO<sub>3</sub>の場合)。

b) DL型アウターカプセルの開封切断部の“バリ”のため、インナーカプセルを取り出せなかつた(67M-53R-3, Fe粉末の場合)。

## III) 蓋のせ式インナーカプセル

アルミニウム箔で蓋および胴部を包んでいるが箔がゆるんで蓋がずれ、ターゲットがインナーカプセルから飛散した(67M-53R-3, Fe粉末の場合)。

## IV) 石英アンプル

衝撃によつたと考えられるが、アンプル破損が1回起つた(67M-48R-2, Rb<sub>2</sub>CO<sub>3</sub>の場合)。

## 2) キャップセル

## I) 水力ラピットキャップセル

a) ヘリウム封入孔の溶接部分が照射の際の衝撃で1~2mm凹み、気密が破壊されるおそれがあつたが現実に水の入つた例はなかつた。

b) 長型のDL型インナーカプセルを使用すると、ラピットキャップセル溶接時の熱で底部がふくらみ破損しことがあつた。短型のカプセルでは起らないのでラピットキャップセルの端栓部までの距離が問題になると考へられる。

II) TeO<sub>2</sub>照射用キャップセル

TeO<sub>2</sub>照射用キャップセルを溶接した際、その熱でDL型インナーおよびアウターカプセルが共に変形し気密が保てなかつた(70M-10R-2, 3, 5の場合)。この対策としてヘリウム置換封入を高圧から常圧封入に改めて解決した。

## 11 あとがき

JMTRの試用期間中に照射したRI関係の照射試験およびその結果について記した。これらはJMTRを利用するRI関係の代表者の立場で、JMTRのRI関係一般照射利用の面からまとめたものである。したがつて個々の試料についてはRI製造に必要な面からは現在もなお詳細な検討が続けられているものもあり、それらの結果については別の報告によることにしたい。個々の試料についての照射試験結果は、試用期間中を通してすべての面で予想と大きく異なつたものではなく、いずれの試料も安全に照射されたことを示している。しかしながら今後この結果に基いて50MW運転時の実用照射がおこなわれることになるが、試料によっては照射中の挙動の検討がさらに必要であろう。

## 謝 辞

RIの照射試験計画をたてるに当つて御協力下さつた材料試験炉部計画課の諸氏、また照射用キャップセルの設計、試験および検査について御協力下さつた材料試験炉部照射第1課、第3

課の諸氏に深く感謝の意を表する。

### 参考文献

- 1) 鴨志田誠, 田中勲, 高橋秀武, 松永朔郎: RI 製造用キャップセルおよびラビット, 日本原子力学会年会, H28 (1972)
- 2) 山林尚道, 小野間克行, 本石章司, 鈴木義雄: Hg-197, 203 の製造 (I) 照射技術の開発, JAERI-memo (公開) 4220 (1970)
- 3) 山林尚道, 岡根章五, 伊藤太郎: 原子炉照射用アルミニウム製試料容器の耐圧強度, 日本原子力学会年会, H17 (1972)
- 4) 田中勲: JMT-Rにおけるイオウ, 二酸化テルル照射キャップセルの開発, 日本原子力学会年会, B59 (1971)

課の諸氏に深く感謝の意を表する。

### 参考文献

- 1) 鶴志田誠, 田中勲, 高橋秀武, 松永朔郎: RI 製造用キャップセルおよびラビット, 日本原子力学会年会, H28 (1972)
- 2) 山林尚道, 小野間克行, 本石章司, 鈴木義雄: Hg-197, 203 の製造 (I) 照射技術の開発, JAERI-memo (公開) 4220 (1970)
- 3) 山林尚道, 岡根章五, 伊藤太郎: 原子炉照射用アルミニウム製試料容器の耐圧強度, 日本原子力学会年会, H17 (1972)
- 4) 田中勲: JMT-Rにおけるイオウ, 二酸化テルル照射キャップセルの開発, 日本原子力学年会, B59 (1971)

Target material	Target material containers	Encapsulation *	Reactor hole	JMTR Capsule No.
Au (Wire) Zn (Block)			M - 6 K - 4	67 M - 45R - 2, 67M - 46R - 3 67 M - 47R - 2, 67M - 48R - 3 67 M - 49R - 4, 67M - 50R - 2 etc.
Ni (Plate)			M - 6	67 M - 45R - 2, 67 M - 47R - 2, 67 M - 50R - 3, 67 M - 53R - 3
Ta <sub>2</sub> O <sub>5</sub> (Powder)			M - 6	67 M - 45R - 3, 67 M - 47R - 3, 67 M - 50R - 3
KCl (Crystalline powder)			M - 6 K - 4	67M-45R-3, 67M-47R-3, 67M-51R-4, 67M-52R-4
AlN (Powder) (Pellet)			M - 6 K - 4	67M-45R-4, 67M-47R-4, 67M-49R-3 67M-50R-4, 67M-51R-3, 67M-52R-2 70M-17R, 70M-18R, 70M-19R, etc.
Sm <sub>2</sub> O <sub>3</sub> (Powder) Rb <sub>2</sub> CO <sub>3</sub> (Powder)			M - 6	67 M - 46R - 2, 68M - 48R - 2, 67M - 53R
Cs <sub>2</sub> CO <sub>3</sub> (Powder)			M - 6 K - 4	67 M - 46R - 3, 67 M - 48R - 2 67 M - 52R - 3
CaCO <sub>3</sub> (Powder) MoO <sub>3</sub> (Powder)			M - 6 K - 4 I - 11	67 M - 46R - 5, 67 M - 48R - 5, 67 M - 49R - 5, 67 M - 51R - 4, 67 M - 52R - 5, 70 M - 2R - 4, etc.
Cr (Block) Cr <sub>2</sub> O <sub>3</sub> (Powder) K <sub>2</sub> CrO <sub>4</sub> (Crystalline powder)			M - 6 F - 11 I - 11	67 M - 46R - 4, 67 M - 48R - 4, 67 M - 49R - 2, 67 M - 52R - 4, 70 M - 2R - 1, 70 M - 9R - 1 etc.
Cd (Plate) Ag (Wire) Pt (Wire)			K - 4 M - 6	67 M - 49R - 4, 67 M - 50R - 3, 67 M - 51R - 2, 67 M - 52R - 2
Fe (Powder) Fe <sub>2</sub> O <sub>3</sub> (Powder)			J - 11 J - 4	67 M - 53R - 2, 68M - 23R - 3 68M - 24R - 3
Sn (Block) SrCO <sub>3</sub> (Powder)			I - 11	68M - 24R, 70M - 15R
Ir (Pellet)	Graphite or Al		G - 11 K - 11, P - 11 I - 11	68M - 1R, 68M - 2R, 68M - 3R, 68M - 4R, 68M - 20R, etc.
Co (Wafer)	Graphite		I - 11 M - 8	70M - 2R - 5, 70M - 9R - 5,
TeO <sub>2</sub> (Powder)			K - 4 J - 7 - 1 I - 11	68M - 5R, 68M - 8R, 68M - 11 - 1 70M - 2R - 2, 70M - 8R - 2, 70M - 10R - 1, -2, etc.
S (Powder)			J - 7 - 1 J - 9 - 3 J - 9 - 4	68 M - 9R, 10R, 11R, 70M - 12R, 13R
HgO (Powder)			J - 4	70M - 15R, 16R, 25R

\* The samples are encapsulated in JMTR irradiation capsules, except for S.

Fig.1 Encapsulation for target materials.

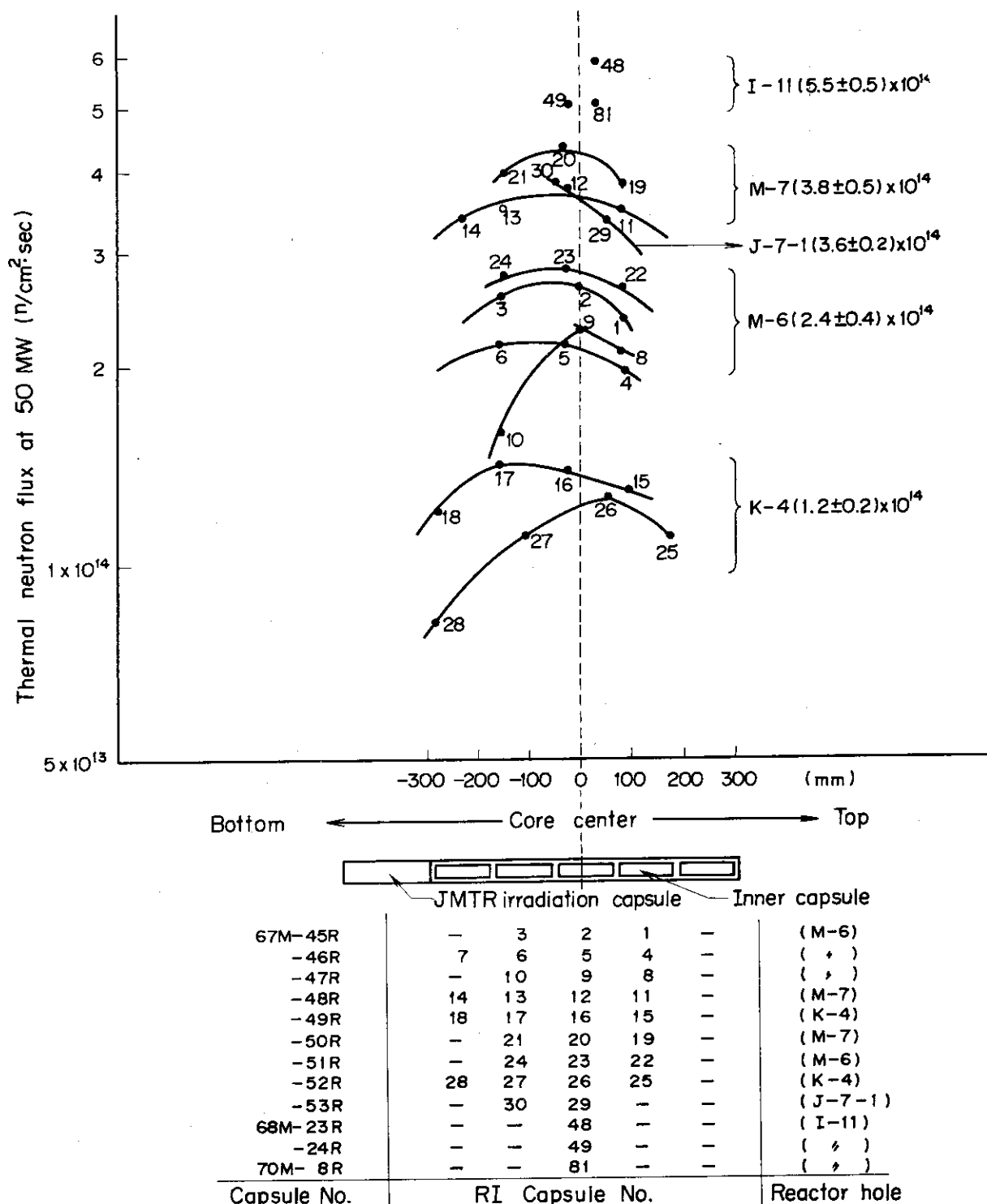


Fig. 2 Axial distribution of thermal neutron flux at 50MW  
(Measured with Co foil)

Fast neutron flux ( $n/cm^2 \cdot sec$ ) at 50MW

M-6-2  $(2.9 \pm 0.1) \times 10^{13} n/cm^2 \cdot sec$  ( $Ni(n,p)^{58}Co$  reaction, corrected value for burn up)

I-11-2  $1.46 \times 10^{14}$  ; ( $Fe(n,p)^{54}Mn$  reaction)

J-7-2  $2.5 \times 10^{14}$  ; ( $Ni(n,p)^{58}Co$  reaction)

Reactor hole — Capsule position from the top of the hole.

Table 1. Target materials for irradiation in JMTTR

Materials	Formula	Target materials and their properties				Characteristics of materials				Objective radionuclides				Reactor Irradiation	
		Melting point (°C) <sup>2)</sup>	Boiling point (°C) <sup>2)</sup>	Specific gravity <sup>2)</sup>	Solubility at ~20°C g/100g H <sub>2</sub> O (cal/cm <sup>-1</sup> ·sec <sup>-1</sup> (°C) <sup>-1</sup> )	Thermal conductivity at ~20°C H <sub>2</sub> O (cal/cm <sup>-1</sup> ·sec <sup>-1</sup> (°C) <sup>-1</sup> ) <sup>3)</sup>	Purity	Maker	Nuclide	Half life <sup>4)</sup>	Nuclear reaction of Applications	Capsule No.	Remarks		
Gold	Au	1,063	2,660	1.93	insoluble	0.71	1.0mmφ Wire Foil	99.99%	Ishifuku Metal Industry Co., Ltd.	<sup>198</sup> Au	2.697d	(n, r)	Medicine	67M-45R, 46R, 47R, 48R	Hydro rabbit
Zinc	Zn	419.5	907	71.4	"	0.27	Grain	99.999%	Mitsui Mining & Smelting Co., Ltd.	<sup>65</sup> Zn	2.45d	"	Science Industry	67M-45R, 47R, 50R, 51R	
Nickel	Ni	1,455	3,177	8.90	"	0.22	0.5mm Plate	99.99%	Johnson Matthey & Co., Ltd.	<sup>63</sup> Ni <sup>68</sup> Co	1.25y 7.13d	{n, r} {n, p}	Medicine	70M-2R, 9R 0.24, 0.26, 0.28	Hydro rabbit
Cobalt	Co	1,492	3,100	8.9	"	0.165	Needle, Water	29.85%	Sunitomo Special Metals Co., Ltd.	<sup>60</sup> Co	5.24y	(n, r)	Medicine	70M-2R, 9R 0.24, 0.26, 0.28	Hydro rabbit
Tantalum oxide	Ta <sub>2</sub> O <sub>6</sub>	1,470	decomposition	8.735	"		Powder	Specpure	Johnson Matthey & Co., Ltd.	<sup>182</sup> Ta	11.51d	"	Science Industry	67M-45R, 47R, 50R	
Potassium chloride	KCl	776	1,500	1.938	27.6 at 0°C		Crystalline Powder	Guaranteed Reagent	Kanto Chemical Co., Inc.	<sup>36</sup> S <sup>38</sup> Ge	8.7d 3.08×10 <sup>4</sup> y	{n, p} {n, r}	Science Industry	67M-45R, 47R, 51R, 52R	
Aluminum nitride	AlN	2,200	decomposes >1,400	3.05	Powder, Pellet	Powder	Specpure	Radio Chemical Centre	Johnson Matthey & Co., Ltd.	<sup>14</sup> C	5.568y	(n, p)	Science	67M-45R, 47R, 51R, 52R	
Samarium oxide	Sm <sub>2</sub> O <sub>3</sub>			7.43 at 15°C	insoluble		Powder	Specpure	Johnson Matthey & Co., Ltd.	<sup>155</sup> Eu	1.7y	(n, r) <del>E</del>	Science	67M-46R, 48R	
Rubidium carbonate	Rb <sub>2</sub> CO <sub>3</sub>	837	decomposes at 740	3.468	4.50 at 20°C	"	Specpure RbGe	was converted		<sup>86</sup> Rb	18.6d	(n, r)	"	"	
Cesium carbonate	Cs <sub>2</sub> CO <sub>3</sub>		decomposition	610	4.11	260.5 at 15°C	"	Specpure		<sup>134</sup> Cs	2.07y	"	Science Industry	67M-46R, 48R, 52R	
Chromium	Cr	1,905	2,200	7.1	insoluble	0.16	"	Specpure		<sup>51</sup> Cr	2.78d	"	Medicine	67M-46R, 48R	
Potassium chromate	K <sub>2</sub> CrO <sub>4</sub>	975		27.32 at 18°C	5.8	Crystalline Powder	Quaranteed Reagent	Yokozawa Chemical Co., Inc.		"	"	"	Medicine	67M-46R, 48R	
Chromium oxide <sup>1)</sup>	Cr <sub>2</sub> O <sub>3</sub>	1,990	decomposition	5.21	insoluble	"	Powder	95.9% <sup>50</sup> Cr >9.9%	Oak Ridge National Laboratory	"	"	"	"	70M-2R, 9R	
Calcium carbonate	CaCO <sub>3</sub>	1,339 at 102.5 atm	decomposes at 82.5	27.11 at 25°C	0.0015 at 29.3	"	Powder	Specpure	Johnson Matthey & Co., Ltd.	<sup>45</sup> Ca	1.64d	"	Medicine	67M-46R, 48R, 49R 50R, 51R, 52R	
Cadmium	Cd	320.9	7.67	8.642	insoluble	0.22	1.0mm Plate	"		<sup>106</sup> Cd	4.3d	"	Science	67M-49R, 52R	
Silver	Ag	960.8	~2,170	1.05	"	1.0	1.0mmφ Wire	99.99%	Tanaka Kikinzoku-Kogyo K.K.	<sup>110</sup> Ag	2.53d	"	Science Industry	67M-49R, 51R	
Molybdenum oxide	MoO <sub>3</sub>	795	Sublimation	4.50 at 19.5°C	0.1086 at 18°C	Powder	Specpure	Johnson Matthey & Co., Ltd.	<sup>99</sup> Mo	6.70h	"	Medicine	70M-2R, 8R, 9R	Hydro rabbit	
Platinum	Pt	1,773.5	4,300	21.45	insoluble	0.17	0.5mmφ Wire	"	Ishifuku Metal Industry Co., Ltd.	<sup>199</sup> Pt	3.14d	(n, r) <del>E</del>	Science	67M-50R	
Iron	Fe	1,535	3,000	7.86 at 20°C	"	0.18	Powder	99.99%	Yokozawa Chemical Co., Ltd.	<sup>65</sup> Fe <sup>59</sup> Fe <sup>51</sup> Fe <sup>29</sup> Fe	2.60y 4.51d 2.91d	(n, r) (n, p)	Science Industry	67M-53R 68M-23R, 24R	
Iron(III)oxide	Fe <sub>2</sub> O <sub>3</sub>	1,565		5.24	"	"	Powder	82.48% <sup>58</sup> Fe >99%	Oak Ridge National Laboratory	<sup>113</sup> Sn	1.19d	(n, r)	Medicine	70M-15R	
Tin	Sn	231.9	2,270	6.52–6.56	"	0.16	Grain	99.999+%	Mitsubishi Metal Mining Co., Ltd.	<sup>103</sup> Sn	7.20y	"	Science	68M-23R, 24R	
Barium carbonate	BaCO <sub>3</sub>	a: 1,740 at 90 atm	decomposition	4.43	0.002 at 20°C	Powder	Specpure	Johnson Matthey & Co., Ltd.	<sup>131</sup> Ba	"	"	Medicine	68M-1R, 2R, 3R, 4R, 20R		
Iridium	Ir	2,443	4,400	22.421	insoluble	0.14	Pellet	99.998%	Ishifuku Metal Industry Co., Ltd.	<sup>102</sup> Ir	74.37d	"	Industry	68M-5R, 8R, 11R	
Tellurium (W)oxide	TeO <sub>2</sub>		Sublimes at 450	tetrag: 56.7 rhomb: 59.1 in cold H <sub>2</sub> O	"	"	Powder	Guaranteed Reagent	Kanto Chemical Co., Inc.	<sup>131</sup> I	8.08d	(n, r) <del>E</del>	Medicine	68M-8R, 9R	
Sulfur	S	114	44.46	1.92	insoluble	"	G.R. sulfur was distilled 4 times	"		<sup>32</sup> S	14.22d	(n, p)	Medicine	68M-9R, 10R, 11R	
Mercury(I) oxide	HgO	decomposes at 500		11.14	0.005 at 25°C	"	Specpure	Johnson Matthey & Co., Ltd.	<sup>197</sup> Hg <sup>203</sup> Hg	6.5h 4.73d	(n, r)	Industry Medicine	70M-15R		
Strontium carbonate <sup>1)</sup>	SrCO <sub>3</sub>	1,340 at 60 atm		3.736	0.0018 at 18°C	"		7.56% <sup>84</sup> Sr >9.86%	Oak Ridge National Laboratory	<sup>86</sup> Sr	"	(n, r)	Science Industry	"	
Magnesium oxide	MgO	2800	3,600	3.65	6.2×10 <sup>-4</sup>	"	Specpure	Johnson Matthey & Co., Ltd.	<sup>24</sup> Na	14.97h	(n, p)	Science	025, 027, 029	Hydro rabbit	

1) : Enriched target was used.

2) : Ed. Nihon Kagaku Kai : "KAGAKUBENRAN" The Maruzen Co., Ltd. Tokyo (1958)

3) : Ed. Nihon Kinzokugakukai : "KINZOKUBENRAN" The Maruzen Co., Ltd. Tokyo (1960)

4) : Hollander J.M. and Seaborg G.T. : "Table of Isotopes" (Rev. Mod. Phys. 30(2) (1958))

## JAERI-M 5363

Table 2. Nuclides and activities produced with the neutron flux of  $10^{14} \text{ n/cm}^2 \cdot \text{sec}$ 

Target material	Nuclide formed	Half life	Nuclear reaction	Activation cross section <sup>1)</sup>	Saturated activity (Ci/g target)	Activity (Ci/g target) 21d irradi.	Activity (Ci/g target) 28d irradi.	Specific $\gamma$ -ray constant (R/mCi·h at 1cm)
MgO (Mg/MgO=0.603)	<sup>24</sup> Na *	14.97 h	<sup>24</sup> Mg(n, p)	1.2mb	0.0381	0.0381	0.0381	1.84
	<sup>27</sup> Mg	9.45 m	<sup>26</sup> Mg(n, r)	2.7mb	0.115	0.115	0.115	
A $\ell$	<sup>24</sup> Na	14.97 h	<sup>27</sup> A $\ell$ (n, $\alpha$ )	4.3mb	0.259	0.259	0.259	1.84
A $\ell$ N (N/A $\ell$ N=0.342)	<sup>24</sup> Na	14.97 h	<sup>27</sup> A $\ell$ (n, $\alpha$ )	4.3mb	0.886	0.886	0.886	1.84
	<sup>28</sup> A $\ell$	22.7 m	<sup>27</sup> A $\ell$ (n, r)	0.21 b	4.45	4.45	4.45	8.5
	<sup>14</sup> O *	5.568 y	<sup>14</sup> N(n, p)	1.75 b	69.4	0.000495	0.000660	
S	<sup>32</sup> P *	14.22 d	<sup>33</sup> S(n, p)	6.0mb	2.90	1.86	2.16	
	<sup>33</sup> P	24.4 d	<sup>33</sup> S(n, p)	6.5mb	0.0241	0.0108	0.0132	
	<sup>34</sup> S	8.7 d	<sup>34</sup> S(n, r)	0.26 b	0.537	0.0827	0.107	
	<sup>34</sup> P	12.4 s	<sup>34</sup> S(n, p)	0.63 mb	0.00130	0.00130	0.00130	
	<sup>31</sup> Si	2.62 h	<sup>34</sup> S(n, $\alpha$ )	2.5mb	0.00536	0.00536	0.00536	
K $\ell$ (C $\ell$ /KC $\ell$ =0.476)	<sup>36</sup> C $\ell$	$3.08 \times 10^6$ y	<sup>36</sup> C $\ell$ (n, r)	3.0 b	4.95			
	<sup>35</sup> S	8.7 d	<sup>35</sup> C $\ell$ (n, p)	1.6mb	0.268	0.0412	0.0535	
	<sup>32</sup> P	14.22 d	<sup>35</sup> C $\ell$ (n, $\alpha$ )	6.1mb	0.102	0.0654	0.0759	
	<sup>38</sup> C $\ell$	37.29 m	<sup>37</sup> C $\ell$ (n, r)	0.56 b <sup>2)</sup>	2.90	2.90	2.90	7.0
	<sup>37</sup> S	5.04 m	<sup>37</sup> C $\ell$ (n, p)	0.24 mb	0.0122	0.00122	0.00122	
	<sup>42</sup> K	12.52 h	<sup>41</sup> K(n, r)	1.1 b	1.58	0.00215	0.00215	1.4
	<sup>41</sup> A	11.0 m	<sup>41</sup> K(n, p)	1.5mb	0.0215	0.00345	0.00345	6.6
	<sup>38</sup> C $\ell$	37.3 m	<sup>41</sup> K(n, $\alpha$ )	2.4mb	0.00345	1.58	1.58	7.0
CaCO <sub>3</sub> (Ca/CaCO <sub>3</sub> =0.400)	<sup>40</sup> K	$1.25 \times 10^6$ y	<sup>40</sup> Ca(n, p)	4.7mb	1.85			
	<sup>37</sup> A	3.50 d	<sup>40</sup> Ca(n, $\alpha$ )	6.7mb	0.106	0.0360	0.0450	
	<sup>46</sup> Ca *	1.64 d	<sup>44</sup> Ca(n, r)	0.67 b	0.205	0.0174	0.0229	
Cr or K <sub>2</sub> CrO <sub>4</sub> or Cr <sub>2</sub> O <sub>3</sub> (Cr/K <sub>2</sub> CrO <sub>4</sub> =0.268) (2Cr/Or <sub>2</sub> O <sub>3</sub> =0.684)	<sup>51</sup> Cr *	27.8 d	<sup>50</sup> Cr(n, r)	1.35 b	1.86	7.57	9.52	0.16
	<sup>50</sup> V	$4 \times 10^6$ y	<sup>50</sup> Cr(n, p)	2.50 mb	0.0338			
	<sup>52</sup> V	3.76 m	<sup>52</sup> Cr(n, p)	0.8mb	0.0210	0.0209	0.0209	7.4
	<sup>55</sup> Or	3.52 m	<sup>54</sup> Cr(n, r)	0.38 b	0.284	0.284	0.284	
Fe or Fe <sub>2</sub> O <sub>3</sub> (2Fe/Fe <sub>2</sub> O <sub>3</sub> =0.699)	<sup>56</sup> Fe *	2.60 y	<sup>54</sup> Fe(n, r)	2.5 b	4.40	0.0670	0.0891	
	<sup>54</sup> Mn	29.1 d	<sup>54</sup> Fe(n, p)	4.8mb	0.0845	0.00412	0.00545	
	<sup>56</sup> Mn *	25.76 h	<sup>56</sup> Fe(n, p)	0.87 mb	0.0232	0.0232	0.0232	8.3
	<sup>58</sup> Fe *	45.1 d	<sup>58</sup> Fe(n, r)	0.98 b	0.0853	0.0235	0.0298	6.4
Co	<sup>60</sup> Co *	5.24 y	<sup>59</sup> Co(n, r)	3.63 b	1.003	7.62	10.0	1.32
	<sup>59</sup> Fe	4.51 d	<sup>59</sup> Co(n, p)	0.3mb	0.00828	0.00228	0.00290	6.4
	<sup>58</sup> Mn	25.76 h	<sup>59</sup> Co(n, $\alpha$ )	0.23 mb	0.00635	0.00635	0.00635	8.3
Ni	<sup>68</sup> Co	7.13 d	<sup>68</sup> Ni(n, p)	1.05 mb	2.00	0.369	0.476	5.5
	<sup>60</sup> Co	5.24 y	<sup>60</sup> Ni(n, p)	~2mb	—	—	—	1.32
	<sup>68</sup> Ni *	12.5 y	<sup>68</sup> Ni(n, r)	1.5 b <sup>2)</sup>	1.44	0.00460	0.00613	
	<sup>66</sup> Ni	25.64 h	<sup>66</sup> Ni(n, r)	1.6 b	0.472	0.472	0.472	

JAERI-M 5363

Target material	Nuclide formed	Half life	Nuclear reaction	Activation cross section 1) section	Saturated activity (Ci/g target)	Activity produced (Ci/g target)	21d irradi.	28d irradi.	Specific $\gamma$ -ray constant (R/mCi-h at 1cm)
Zn	$^{66}\text{Zn}$	245 d	$^{64}\text{Zn} (\text{n}, \tau)$	0.44 b	5.47	0.316	0.417		2.7
	$^{64}\text{Cu}$	1280 h	$^{64}\text{Zn} (\text{n}, \text{p})$	39mb	0.485	0.485	0.485		1.2
	$^{69m}\text{Zn}$	13.8 h	$^{68}\text{Zn} (\text{n}, \tau)$	0.097 b	0.431	0.431	0.431		
	$^{69}\text{Zn}$	5.7 m	$^{68}\text{Zn} (\text{n}, \tau)$	1.0 b	4.44	4.44	4.44		
$\text{Rb}_2\text{CO}_3$ ( $2\text{Rb}/\text{Rb}_2\text{CO}_3 = 0.740$ )	$^{88}\text{Rb}^*$	18.66 d	$^{88}\text{Rb} (\text{n}, \tau)$	0.80 b	8.18	4.43	5.29		0.5
	$^{88}\text{Rb}$	17.8 m	$^{87}\text{Rb} (\text{n}, \tau)$	0.12 b	0.463	0.463	0.463		
$\text{MoO}_3$ ( $\text{Mo}/\text{MoO}_3 = 0.666$ )	$^{98m}\text{Mo}$	6.95 h	$^{92}\text{Mo} (\text{n}, \tau)$	6mb	0.0121	0.0120	0.0120		
	$^{92}\text{Nb}$	10.1 d	$^{92}\text{Mo} (\text{n}, \text{p})$	1.1mb	0.0222	0.0168	0.0189		
	$^{98}\text{Mo}^*$	6.60 h	$^{98}\text{Mo} (\text{n}, \tau)$	0.13 b <sup>4)</sup>	0.342	0.339	0.342		
	$^{98m}\text{Tc}$	6.04 h	$^{98}\text{Mo} (\text{n}, \tau) \beta^-$						
Ag	$^{110m}\text{Ag}^*$	253 d	$^{109}\text{Ag} (\text{n}, \tau)$	3.2 b	23.7	1.32	1.75		1.43
Sn	$^{118}\text{Sn}^*$	119 d	$^{112}\text{Sn} (\text{n}, \tau)$	1.3 b	0.180	0.0207	0.0270		
	$^{117m}\text{Sn}$	14.0 d	$^{118}\text{Sn} (\text{n}, \tau)$	6.0mb	0.0120	0.0775	0.0899		
	$^{119m}\text{Sn}$	$\sim 250$ d	$^{118}\text{Sn} (\text{n}, \tau)$	10mb	0.0331	0.00187	0.00247		
	$^{121m}\text{Sn}$	$> 400$ d	$^{120}\text{Sn} (\text{n}, \tau)$	1mb	0.0447	0.00159	0.000211		
	$^{121}\text{Sn}$	27.5 h	$^{120}\text{Sn} (\text{n}, \tau)$	0.14 b	0.626	0.626	0.626		
	$^{128}\text{Sn}$	9.4 d	$^{124}\text{Sn} (\text{n}, \tau)$	4mb	0.00314	0.00247	0.00274		
	$^{128}\text{Sb}$	20.7 y	$^{124}\text{Sn} (\text{n}, \tau) \beta^-$						
Cd	$^{107}\text{Cd}$	6.7 h	$^{106}\text{Cd} (\text{n}, \tau)$	1.0 b	0.186	0.186	0.186		
	$^{109}\text{Cd}$	470 d	$^{108}\text{Cd} (\text{n}, \tau)$						
	$^{115m}\text{Cd}$	5.1 y	$^{112}\text{Cd} (\text{n}, \tau)$	30mb	0.105	0.000817	0.00109		
	$^{116m}\text{Cd}^*$	4.3 d	$^{114}\text{Cd} (\text{n}, \tau)$	0.14 b	0.577	0.166	0.210		
	$^{118}\text{Cd}$	5.3 h	$^{114}\text{Cd} (\text{n}, \tau)$	1.1 b	4.53	4.53	4.53		
	$^{117m}\text{Cd}$	3.0 h	$^{116}\text{Cd} (\text{n}, \tau)$	1.5 b	1.60	1.60	1.60		
$\text{TeO}_2$ ( $\text{Te}/\text{TeO}_2 = 0.799$ )	$^{121m}\text{Te}$	154 d	$^{120}\text{Te} (\text{n}, \tau)$	7.0 b	0.296	0.0267	0.0350		
	$^{123m}\text{Te}$	104 d	$^{122}\text{Te} (\text{n}, \tau)$	1.1 b	0.289	0.0377	0.0491		
	$^{124m}\text{Te}$	5.8 d	$^{124}\text{Te} (\text{n}, \tau)$	5 b	2.42	0.537	0.688		
	$^{127m}\text{Te}$	105 d	$^{128}\text{Te} (\text{n}, \tau)$	90mb	0.174	0.0225	0.0293		
	$^{127}\text{Te}$	9.4 h	$^{128}\text{Te} (\text{n}, \tau)$	0.8 b	1.55	1.55	1.55		
	$^{129m}\text{Te}$	33.5 d	$^{128}\text{Te} (\text{n}, \tau)$	1.5mb	0.0485	0.0171	0.0213		
	$^{131m}\text{Te}$	3.0 h	$^{120}\text{Te} (\text{n}, \tau)$	<8mb	0.0353	0.0353	0.0353		
	$^{131}\text{Te}$	24.8 m	$^{120}\text{Te} (\text{n}, \tau)$	0.22 b	0.778	0.778	0.778		
	$^{131}\text{I}^*$	8.08 d	$^{120}\text{Te} (\text{n}, \tau) \beta^-$		0.778	0.650	0.709		2.2

Target material	Nuclide formed	Half life	Nuclear reaction	Activation cross section <sup>1)</sup>	Saturated activity (Ci/g target)	Activity (Ci/g target) 21d irrad.	Activity (Ci/g target) 28d irrad.	Specific $\gamma$ -ray constant (R/mCi·h at 1cm)
$BaCO_3$ (Ba/BaCO <sub>3</sub> =0.696)	<sup>181</sup> Ba*	11.5 d	<sup>180</sup> Ba(n, $\tau$ )	10b <sup>2)</sup>	0.0880	0.0632	0.0718	
	<sup>183m</sup> Ba	3.88 h	<sup>182</sup> Ba(n, $\tau$ )	7 b	0.0583	0.0583	0.0583	
	<sup>185m</sup> Ba	2.87 h	<sup>184</sup> Ba(n, $\tau$ )	2b <sup>2)</sup>	0.409	0.409	0.409	
$Cs_2CO_3$ (2Cs/Cs <sub>2</sub> CO <sub>3</sub> =0.816)	<sup>184m</sup> Cs	3.2 h	<sup>183</sup> Cs(n, $\tau$ )	0.017b	0.170	0.170	0.170	
	<sup>184</sup> Cs*	20.7 y	<sup>185</sup> Cs(n, $\tau$ )	26b	260	4.95	6.59	8.7
$Sm_2O_3$ (2Sm/Sm <sub>2</sub> O <sub>3</sub> =0.862)	<sup>143</sup> Sm	340 d	<sup>144</sup> Sm(n, $\tau$ )	<2b	0.616	0.0258	0.0342	
	<sup>145</sup> Sm*	4.71 h	<sup>142</sup> Sm(n, $\tau$ )	140b	3.44	3.44	3.44	
	<sup>146</sup> Sm	23.5 m	<sup>144</sup> Sm(n, $\tau$ )	5.5 b	11.3	11.3	11.3	
$Ta_2O_5$ (2Ta/Ta <sub>2</sub> O <sub>5</sub> =0.819)	<sup>182m</sup> Ta	16.5 m	<sup>181</sup> Ta(n, $\tau$ )	30mb	0.221	0.221	0.221	
	<sup>183</sup> Ta*	115.1 d	<sup>181</sup> Ta(n, $\tau$ )	19b	140	140	140	6.8
Ir	<sup>192</sup> Ir*	74.37 d	<sup>191</sup> Ir(n, $\tau$ )	960b <sup>3)</sup>	3150	560	720	4.8
	<sup>194</sup> Ir	19.0 h	<sup>193</sup> Ir(n, $\tau$ )	130b <sup>3)</sup>	670	670	670	1.5
Pt	<sup>191</sup> Pt	3.00 d	<sup>190</sup> Pt(n, $\tau$ )	150b <sup>2)</sup>	0.154	0.153	0.154	
	<sup>193m</sup> Pt	4.3 d	<sup>192</sup> Pt(n, $\tau$ )	90b	5.95	5.75	5.95	
	<sup>195m</sup> Pt	3.5 d	<sup>194</sup> Pt(n, $\tau$ )	1.2b <sup>2)</sup>	3.30	3.25	3.30	
	<sup>197</sup> Pt	1.8 h	<sup>196</sup> Pt(n, $\tau$ )	0.8 b	1.69	1.69	1.69	
	<sup>198</sup> Pt	3.1 m	<sup>197</sup> Pt(n, $\tau$ )	3.9 b	2.31	2.31	2.31	
	<sup>199</sup> Au*	3.14 d	<sup>198</sup> Pt(n, $\tau$ ) <sup>β-</sup>					
Au	<sup>198</sup> Au*	26.97 d	<sup>197</sup> Au(n, $\tau$ )	96b	790	790	790	2.3
$HgO$ (Hg/HgO=0.926)	<sup>197m</sup> Hg*	2.4 h	<sup>196</sup> Hg(n, $\tau$ )	1.25b <sup>5)</sup>	1.40	1.40	1.40	
	<sup>197</sup> Hg	6.5 h	<sup>196</sup> Hg(n, $\tau$ )	2930b <sup>5)</sup>	32.9	32.7	32.9	
	<sup>203</sup> Hg*	46.9 d	<sup>202</sup> Hg(n, $\tau$ )	3.8b <sup>5)</sup>	8.45	2.23	2.84	1.3

\* Aimed radioisotopes

- 1) Cited from Koch, R.C. : "Activation Analysis Handbook", Academic Press, New York(1960). Cross sections for (n, p) and (n,  $\alpha$ ) reactions are those for fast neutrons cited from Roy, J.C., Hawton, J.J. : "Table of estimated cross sections for (n, p), (n,  $\alpha$ ) and (n,  $\alpha n$ ) reactions in a fission neutron spectrum", AECL CRC-1003 (1960)
- 2) Absorption cross sections cited from the literature mentioned above.
- 3) Cited from Boehm, F., Marmier, P. : "Isomer in Iridium-193", Phys. Rev. 105, 974-976 (1957)
- 4) Hughes, D.J., Schwartz, R.B. : "Neutron Cross Sections", U.S.A.E.C. BNL-325 (1955)
- 5) ibid, 2nd edition, Supplement No.2 (1966)
- 6) Cited from Wilson B.J. editor, "The Radiochemical Manual", 2nd edition, The Radiochemical Centre, Amersham (1966)

Table 3. Irradiation capsules classified with target materials for RI production in JMTR

Classification	1st class Metal	2nd class Powder	3rd class	4th class	5th class
Target materials	Au, Zn, Ni, Co, Cd Cr, Ag, Pt, Fe, Ir etc.	KCl, BaCO <sub>3</sub> , Rb <sub>2</sub> CO <sub>3</sub> K <sub>2</sub> CrO <sub>4</sub> , CaCO <sub>3</sub> , Cs <sub>2</sub> CO <sub>3</sub> Ta <sub>2</sub> O <sub>5</sub> , Sm <sub>2</sub> O <sub>3</sub> , MoO <sub>3</sub> etc.	S	Special	Special
Rabbit type capsule			*	*	*
Basket type capsule			*	*	*
Outer capsule			*	*	*

N.B.

● Target material

○ Quartz ampoule wrapped with aluminum foil

□ Cold-welded capsule ( DL type inner capsule )

□ Cold-welded capsule ( DL type outer capsule )

--- Welding part

\* Future plan

Table 4. Standard items of inspection of irradiation capsules for RI production in JMTR

Classification Item	1st class		2nd class		3rd class		4th class		5th class			
	Single Capsule	Double Capsule	Double Outer or Inner Capsule	JMTR Capsule	Outer or Inner Capsule	JMTR Capsule	Inner Capsule	Outer Capsule	JMTR Capsule	Quartz ampoule (Inner Capsule)	Outer Capsule	JMTR Capsule
Encapsulation Species	○	○	○	○	○	○	○	○	○	○	○	○
Inspection of exterior	○	○	○	○	○	○	○	○	○	○	○	○
Inspection of dimensions	○	○	○	○	○	○	○	○	○	○	○	○
Measurement of weight	○	○	○	○	○	○	○	○	○	○	○	○
X-ray photograph of welded part	○	-	○	-	○	(○)	○	(○)	-	○	(○)	○
Leak test with glycolol	○	-	○	-	○	-	○	-	○	-	-	○
Leak test with He detector	○	-	○	-	○	-	○	-	○	-	-	○
Inspection of raw material(mill sheet)	○	○	○	○	○	○	○	○	○	(○)	○	○
Photograph of whole view	○	-	○	-	○	-	○	-	○	-	○	-

N.B. Dimensions are measured with the precision of 1/20mm for I.D., O.D., and thickness, and 1/10 mm for length.  
Weight is measured with a spring balance.

X-ray photographs are taken in both the horizontal and vertical directions.

Inspection of raw material is substituted for the mill sheet.

Contents of mill sheet : ① Chemical composition

- ② Mechanical properties
  - a. Tensile strength
  - b. Elongation percentage
  - c. Hardness(Vickers) (JIS standard)
  - d. Yield strength

Inspection of width and height of head of welded part has been left pending.

Table 5. Irradiation schedule in JMTR during  
the test irradiation period.

Cycle No. Irradiation hole	2	3	4	5	6	7	8	9
D - 9		67M-45R Au, Zn, Ni* Ta <sub>2</sub> O <sub>5</sub> , KO <sub>2</sub> * A <sub>2</sub> N*	67M-46R Sm <sub>2</sub> O <sub>3</sub> , RbCO <sub>3</sub> Au, Zn, Ni* Ta <sub>2</sub> O <sub>5</sub> , KO <sub>2</sub> * Au, Cs <sub>2</sub> CO <sub>3</sub> * Cr, K <sub>2</sub> CrO <sub>4</sub> * CaCO <sub>3</sub> *	67M-47R Sm <sub>2</sub> O <sub>3</sub> , RbCO <sub>3</sub> Zn, Ni* Ta <sub>2</sub> O <sub>5</sub> , KO <sub>2</sub> * Au, Cs <sub>2</sub> CO <sub>3</sub> * A <sub>2</sub> N*	67M-48R Sm <sub>2</sub> O <sub>3</sub> , RbCO <sub>3</sub> Zn, Ni* Ta <sub>2</sub> O <sub>5</sub> , Pt*	67M-50R A <sub>2</sub> N*	67 M - 51 R Ag, Zn* A <sub>2</sub> N*	67 M - 51 R Ag, Zn* A <sub>2</sub> N*
F - 4			68M-5R TeO <sub>2</sub> × 3	68M-8R TeO <sub>2</sub> × 3	67M-49R Cr, K <sub>2</sub> CrO <sub>4</sub> * A <sub>2</sub> N*		67 M - 52 R A <sub>2</sub> N*	
H - 7 - 1		68M-11R TeO <sub>2</sub> S × 3		68M-9R S × 3	68M-11R S × 3		67 M - 53 R Ni, Fe*	
G - 12 or J - 3	68M-1R Ir*	68M-3R Ir*					BaCO <sub>3</sub> , Sm <sub>2</sub> O <sub>3</sub> *	
M - 11 or K - 12	68M-2R Ir*	68M-4R Ir*						
I - 11			68M-20R Ir*	68M-23R Fe, Sn*	68M-24R Fe, Sn*	70M-2R Cr <sub>2</sub> O <sub>3</sub> * TeO <sub>2</sub> MoO <sub>3</sub> * Ir*	70M-8R TeO <sub>2</sub> MoO <sub>3</sub> * Co*	70M-9R Cr <sub>2</sub> O <sub>3</sub> * TeO <sub>2</sub> Ir*
J - 9 - 3						70M-12R S × 2		
J - 9 - 4							70M-13R S × 2	
M - 9							70M-15R HgO* Fe <sub>2</sub> O <sub>3</sub> , SrCO <sub>3</sub> *	
K - 11							70 M - 17 R A <sub>2</sub> N × 5	
E - 6							70 M - 18 R A <sub>2</sub> N × 5	
N - 8							70 M - 19 R A <sub>2</sub> N × 5	
Hydro rabbit		Au × 3	Co* Zn, MgO Au		Co* Zn, MgO Au		Co* Zn, MgO Au	

\* : Encapsulated with Co foil as the neutron flux monitor.

Table 6. Operational accomplishment of JMTR in each cycle

Date	1970 9.1	10.1	11.1	12.1	1.1	2.1	3.1	4.1	5.1	6.1	7.1
JMTR Cycle No.	3	4	5	6			7	8	9		
Reactor Power	—	—	—	—	—	—	—	—	—	—	—
Operating Period	16d6h41min	18d19h59min	18d6h45min	20d15h23min	17d15h14min	17d4h54min	19d26min				
Date of Shut Down	9/25 8:00	11/6 8:31	12/18 8:30	2/12 11:31	3/26 8:31	5/7 8:30	6/17 18:55				
	6.7M-4.5R	6.7M-4.6R	6.7M-4.7R	6.7M-4.8R	6.7M-5.0R	6.7M-5.1R	6.7M-5.1R				
	6.8M- 3R	6.8M- 5R	6.8M- 8R	6.7M-4.9R	6.7M-5.2R	6.7M-5.2R	6.7M-5.2R				
	6.8M- 4R	6.8M-20R	6.8M- 9R	6.8M-1.0R	6.7M-5.3R	6.7M-5.3R	6.7M-5.3R				
	6.8M-11R		6.8M-2.3R	6.8M-2.4R	7.0M- 2R	7.0M- 8R	7.0M- 9R				
					7.0M-1.2R	7.0M-1.7R	7.0M-1.7R				
					7.0M-1.7R	7.0M-1.8R	7.0M-1.8R				
					7.0M-1.8R	7.0M-1.9R	7.0M-1.9R				
					7.0M-1.9R	7.0M-1.8R	7.0M-1.8R				
						7.0M-1.9R	7.0M-1.9R				
Hydro Rabbit No.	018			022		023	028				
	019			024		026	029				
	020			025		027	030				
							031				

Table 7. Results of the irradiation in JMT R

Capsule No.	Reactor hole Dia.	Cycle No.	RI sample No.	Target material formula	Target material weight(g)	Nuclide produced	Half life	Irradiation period at 30MW thermal	Neutron flux at 50MW fast	Produced activity (Ci/g target)	Results and Remarks		
											Results	Remarks	
-2	#		1	Au	0.1780	<sup>198</sup> Au	2.697 d				Radioactivity could not be measured because of being allowed to decay for 1.34 days		
	#		#	Zn	0.0232	<sup>64</sup> Zn	2.45 d		$4.56 \times 10^{14}$	*	* Corrected value for burn-up of <sup>64</sup> Co		
	#		#	Ni	1.0505	<sup>63</sup> Ni <sup>65</sup> Co	1.25 Y 7.13 d		$(2.74 \times 10^{14})^*$ $1.95 \times 10^{14}$	0.0329			
	#		#	Co	0.000642	<sup>60</sup> Co	5.24 Y			8.35			
67M-45R	-3	42#	M-6		2	Ta <sub>2</sub> O <sub>5</sub>	<sup>183</sup> Ta	11.51 d	16d6h41min	0.97	7.97		
(Non instrumented capsule)			#	KCl	2.1311	<sup>63</sup> S	8.7 d					Target material container could not be taken out of the inner capsule.	
	#		#	Co	0.000724	<sup>60</sup> Co	5.24 Y					Decomposition gas volume 81 CC.	
	-4		3	AlN	5.00	<sup>14</sup> C	55.68 Y						
	#		#	Co	0.000878	<sup>60</sup> Co	5.24 Y						
	-2		4	Si <sub>2</sub> O <sub>5</sub>	0.0094	<sup>168</sup> Eu	1.7 y						
	#		#	Rb <sub>2</sub> CO <sub>3</sub>	0.0315	<sup>89</sup> Rb	18.66 d				1.86		
	#		#	Co	0.000689	<sup>60</sup> Co	5.24 Y				6.81		
	-3		5	Au	0.1794	<sup>198</sup> Au	26.97 d						
	#		#	Ca <sub>3</sub> CO <sub>6</sub>	0.00039	<sup>184</sup> Os	20.7 y						
			#	Co	0.000547	<sup>60</sup> Co	5.24 Y						
67M-46R	#	42#	M-6		4	Cr	<sup>51</sup> Cr	2.78 d			7.93		
(Non instrumented capsule)	-4		#	K <sub>2</sub> CrO <sub>4</sub>	0.0138	<sup>51</sup> Cr	2.78 d				7.81		
	#		#	Co	0.000656	<sup>60</sup> Co	5.24 Y						
	-5		#	CaCO <sub>3</sub>	1.908	<sup>45</sup> Ca	1.64 d						
	#		#	Co	0.000500	<sup>60</sup> Co	5.24 Y						
	-2		8	Au	0.1864	<sup>198</sup> Au	2.697 d						
	#		#	Zn	0.0362	<sup>64</sup> Zn	2.45 d						
	#		#	Ni	0.9797	<sup>63</sup> Ni <sup>65</sup> Co	1.25 Y 7.13 d		$(2.81 \times 10^{14})^*$ $2.04 \times 10^{14}$	0.0384	* Corrected value for burn-up of <sup>64</sup> Co		
	#		#	Co	0.000515	<sup>60</sup> Co	5.24 Y						
67M-47R	-3	42#	M-6		9	Ta <sub>2</sub> O <sub>5</sub>	<sup>183</sup> Ta	11.51 d	18d6h45min	1.12	1.021		
(Non instrumented capsule)	#		#	KCl	2.0132	<sup>63</sup> S	8.7 d				1.64	Chem. yield 65.1%	

Capsule No.	Reactor hole Dia.	Cycle No.	R.I. sample No.	Target material Formula	Weight (g)	Nuclide produced	Half life	Irradiation period at 30 MW thermal	Neutron flux at 5.0 MW fast	Produced activity (Ci/g target)	Results and Remarks	
											No.	No.
mented capsule)	-3		9	Co	0.000644	<sup>60</sup> Co	5.24 y		2.32 × 10 <sup>14</sup>			
	-4		10	A <sub>2</sub> N	5.00	<sup>14</sup> Co	5568 y					
(Noninstru- mented capsule)	-2		#	Co	0.000839	<sup>60</sup> Co	5.24 y					
	#		11	Sm <sub>2</sub> O <sub>3</sub>	0.0111	<sup>138</sup> Eu	1.7 y	17d4h5.4min				
6.7M-4.8 R	4.2φ	M-6	8~9	#	Co	0.000760	<sup>60</sup> Co	5.24 y	19d26min	3.47	"	
	-3		12	Au	0.1588	<sup>199</sup> Au	26.97 d			2.30	"	
(Noninstru- mented capsule)	#		#	Cs <sub>2</sub> CO <sub>3</sub>	0.0026	<sup>134</sup> Os	2.07 y			3.84	"	
	-4		#	Co	0.000836	<sup>60</sup> Co	5.24 y			3.39	"	
	#		13	Cr	0.005791	<sup>113</sup> Or	27.8 d			3.76	"	
	4.2φ	M-6	6	#	K <sub>2</sub> CrO <sub>4</sub>	0.0132	<sup>41</sup> Cr	27.8 d	20d15h23min	3.01	"	
	#		#	Co	0.000760	<sup>60</sup> Co	5.24 y			3.44	"	
	-5		14	CaCO <sub>3</sub>	1.0139	<sup>48</sup> Ca	1.64 d			3.33	"	
	#		#	Co	0.000519	<sup>60</sup> Co	5.24 y			2.30	"	
	-2		15	Cr	0.003109	<sup>51</sup> Cr	27.8 d			1.12	"	
	#		#	K <sub>2</sub> CrO <sub>4</sub>	0.005973	<sup>51</sup> Cr	27.8 d					
	#		#	Co	0.000836	<sup>60</sup> Co	5.24 y					
	-3		16	A <sub>2</sub> N	5.00	<sup>14</sup> C	55.68 y			0.936	"	
	#		#	Co	0.000699	<sup>60</sup> Co	5.24 y					
6.7M-4.9 R	4.2φ	K-4	6	17	Au	0.077	<sup>199</sup> Au	26.97 d	20d15h23min	1.37	"	
			#	Cd	0.0021	<sup>109</sup> Cd	4.3 d			2.32	"	
(Noninstru- mented capsule)	#		#	Co	0.000704	<sup>60</sup> Co	5.24 y			1.42	"	
	-5		18	CaCO <sub>3</sub>	0.1158	<sup>45</sup> Ca	1.64 d			1.31	"	
	#		#	A <sub>2</sub> Z	0.0331	<sup>109</sup> A <sub>2</sub> Z	2.53 d			6.51 × 10 <sup>1</sup>		
	#		#	MoO <sub>3</sub>	0.1300	<sup>69</sup> Mo	6.60 h			1.50	"	
	#		#	Co	0.000814	<sup>60</sup> Co	5.24 y			4.97	"	
6.7M-5.0 R	4.2φ	M-7	7	19	Zn	0.0388	<sup>65</sup> Zn	2.45 d	20.3	0.317	Chemical yield 130%	
(Noninstru- mented capsule)	#		#	Ni	0.9465	<sup>68</sup> Ni	1.25 y			(5.02 × 10 <sup>11</sup> ) <sup>*</sup>		
						<sup>71</sup> Co	7.10 d			3.05 × 10 <sup>3</sup>	* Corrected value for burn-up of <sup>60</sup> Co	0.533



Capsule No.	Reactor Hole Dia.	Cycle No.	R.I. sample No.	Target material No.	Target material weight (g)	Nuclide produced	Half life	Irradiation period at 30MW	Neutron flux at 50MW thermal fast	Produced activity (Ci/g target)	Results and Remarks
mented capsule)	-4			3.0 Sm <sub>2</sub> O <sub>3</sub>	0.00052	<sup>141</sup> Eu	1.7y				
	-1		#	Co	0.000693	<sup>66</sup> Co	5.24y		3.80 × 10 <sup>14</sup>		
6 8 M-5 R (Busket)	-2 4.2φ	K-4	4	3.1 TeO <sub>3</sub>	1.00	<sup>141</sup> I	8.08d				
	-3			#	#	#	#				
6 8 M-8 R (Busket)	-2 4.2φ	K-4	5	3.3	#	#	#	18d10h31min at 25MW			
	-3										
6 8 M-9 R (Busket)	-2 3.2φ	J-7-1	5	3.4	2.00	#	#	18d6h45min			
	-3										
6 8 M-10 R (Busket)	-2 3.2φ	J-7-1	6	4.0	#	1.00	#	"P 1422d			
	-3										
6 8 M-1 R (Busket)	4.2φ	G-11	2	4.3 Ir	0.280	<sup>141</sup> Ir	7.437d				
6 8 M-2 R (Busket)	4.2φ	K-11	2	4.4	#	0.280	#				
6 8 M-3 R (Busket)	4.2φ	P-11	3	4.5	#	2.66	#	16d6h41min			
6 8 M-4 R (Busket)	4.2φ	I-11	3	4.6	#	6.3	#	16d6h41min			
6 8 M-11 R (Instrumented capsule)	3.2φ	J-7-1	3	TeO <sub>3</sub>	2.00	<sup>141</sup> I	8.08d				
				S	1.00	"P 1422d	16d6h41min				
0 18~0 30			50-61								
6 8 M-20 R (Busket)	4.2φ	I-11	4	4.7 Ir	26.6	<sup>141</sup> I	74.37d	18d19h59min at 25MW	3.0 × 10 <sup>14</sup>	1.01	Irradiation in hydraulic tube c.f. Table 26
	-3										
6 8 M-23 R (Busket)	4.2φ	I-11	5	4.8 Fe	0.00061	"Fe	4.51d			0.0627 0.00298	* The value obtained by the <sup>66</sup> Fe( <sup>19</sup> F, p) <sup>65</sup> Mn reaction. <sup>65</sup> Mn/ <sup>66</sup> Fe = 0.475
	#			#	1.0319	<sup>113</sup> Sn	11.9d	18d6h45min	3.70	0.0381	Melted during the irradiation and produced <sup>115</sup> Sb activity was 7.16mCi/g Sn
				#	0.000379	<sup>66</sup> Co	5.24y		5.85		

## JAERI-M 5363

Capsule No.	Reactor hole Dia.	Cycle No.	R.I. sample No.	Target material	Target weight(g)	Nuclide produced	Half life	Irradiation period at 30MW thermal	Neutron flux at 50MW fast	Produced activity (Ci/g target)	Results and Remarks
6 8M-24 R (Basket)	# 4.2φ	1-11	6	Fe	0.0051	<sup>49</sup> Fe	4.51d	20d15h23min	5.53 × 10 <sup>14</sup>	0.08028	
	# -1			Sn	1.0343	<sup>113</sup> Sn	1.19d				Enriched target was used, but could not be dissolved.
	# -2			O <sub>2</sub>	0.000467	<sup>60</sup> O	5.24y				
7 0M-2 R (Basket)	# 4.2φ	1-11	7	Cr, O <sub>2</sub>	0.005667	<sup>51</sup> Cr	27.8d				
	# -4			O <sub>2</sub>	0.000474	<sup>60</sup> O	5.24y				
	# -5			TeO <sub>3</sub>	3.00	<sup>131</sup> I	8.08d				
7 0M-12 R (Basket)	# 3.2φ	J-9-3	7	Ir	7.0	<sup>193</sup> Ir	74.37d	17d15h14min		143	The use of aluminum spacer reduced the contamination of the cave.
	# -4			O <sub>2</sub>	0.00019	<sup>60</sup> O	5.24y				
	# -5			MoO <sub>3</sub>	1.03850	<sup>99</sup> Mo	6.60h				
				O <sub>2</sub>	0.000275	<sup>60</sup> O	5.24y				
					2.53	"	"				
7 0M-17 R (Basket)	# 3.2φ	J-9-3	7	Si	15.5557	<sup>31</sup> P	14.22d	17d15h14min		6.4	Wafer type target, 23 wafers were irradiated
	# -4			"	15.2724	"	"				
	# -1			A/E/M	40.329	<sup>14</sup> O	5.568y	17d15h14min			
7 0M-17 R (Non instrumented capsule)	-2			"	7.1	<sup>41</sup> Ar46	"	"			
	-3	K-11	7~11	"	7.2	<sup>41</sup> Ar32	"	"			
	-4			"	7.3	<sup>41</sup> Ar50	"	"			
	-5			"	7.4	<sup>42</sup> Ar76	"	"			
				"	7.5	<sup>41</sup> Ar49	"	"			
7 0M-18 R (Non instrumented capsule)	-2			"	7.6	<sup>40</sup> Ar82	"	"			
	-3	E-6	7~11	"	7.7	<sup>40</sup> Ar65	"	"			
	-4			"	7.8	<sup>40</sup> Ar74	"	"			
	-5			"	7.9	<sup>43</sup> Ar41	"	"			
7 0M-19 R (Non instrumented capsule)	-2			"	9.7	<sup>38</sup> Ar94	"	"			
	-3	N-8	7~11	"	9.8	<sup>37</sup> Ar17	"	"			
	-4			"	9.9	<sup>41</sup> Ar12	"	"			
	-5			"	1.00	<sup>38</sup> Ar41	"	"			
				"	1.01	<sup>39</sup> Ar97	"	"			
											Decomposition gas volume 21.300

Capsule No.	Reactor hole Dia.	Cycle No.	R I sample No.	Target material formula	Target material weight(g)	Nuclide produced	Half life	Irradiation period at 30MW	Neutron flux at 50MW thermal fast	Produced activity (Ci/g target)	Results and Remarks
70M-8R (Basket)	-2	80	TeO <sub>4</sub>	3.00	<sup>131</sup> I	8.08 d					
	-3	4.2φ	I-11	81	<sup>98</sup> Mo	6.60 h	17d4h54min	$4.99 \times 10^{14}$	$4.35 \times 10^{14}$	3.59	Activity of <sup>92</sup> Nb was 3.62mCi/g MoO <sub>3</sub> , <sup>92</sup> Nb/ <sup>98</sup> Mo = 0.00011
	"	"	"	0.000463	<sup>60</sup> Co	5.24 y		5.00 "			
	-1	83	U <sub>3</sub> O <sub>8</sub>	0.004747	<sup>131</sup> I	27.8 d					
	"	"	"	0.000309	<sup>60</sup> Co	5.24 y		1.41 "		5.84	
	-2	82	TeO <sub>4</sub>	3.00	<sup>131</sup> I	8.08 d					
70M-9R (Basket)	-3	4.2φ	I-11	9	94	6.3	<sup>131</sup> I	74.37 d	19d26min		
	-4	"	"	84	MoO <sub>3</sub>	1.00689	<sup>98</sup> Mo	6.60 h		2.20	
	"	"	"	0.000318	<sup>60</sup> Co	5.24 y					
	-5	85	U <sub>3</sub> O <sub>8</sub>	4.39	"	"			$4.78 \times 10^{14}$		
70M-13R (Basket)	-3	3.2φ	J-9-4	9	86	8	<sup>155</sup> Pb	<sup>131</sup> P	14.22 d	19d26min	
	-4	"	"	87	"	15.2724	"	"			
	-3	"	"	88	HgO	0.0623	<sup>199</sup> Hg	4.69 d		7.8	
	"	"	"	"	Co	0.000239	<sup>60</sup> Co	5.24 y	19d26min	$4.19 \times 10^{14}$	
70M-15R (Basket)	-4	4.2φ	M-9	9~10	89	Fe <sub>2</sub> O <sub>3</sub>	0.001356	<sup>59</sup> Fe	4.51 d		
	"	"	"	"	SrCO <sub>3</sub>	0.003370	<sup>88</sup> Sr	6.4 d	18d12h5min		Enriched target was used.
	"	"	"	"	Co	0.000299	<sup>60</sup> Co	5.24 y		$3.56 \times 10^{14}$	"

Table 8 Results of the Irradiation of Au Targets

Capsule No.	Cycle No.	R. I. sample No.	Reactor hole	Irradiation period at 30 MW	Target Form	material weight(g)	Thermal neutron flux at 50MW( $n/\text{cm}^2 \cdot \text{sec}$ )	Activity ratio for wire/Foil
018	3	5 0	Hydro Rabbit	66h 30min	Wire Foil	0.3681 00 00692	$4.57 \times 10^{13}$ 7.95 "	0.575
019	"	5 1	"	66h 25min	Wire Foil	0.3476 00 00635	4.76 " 9.00 "	0.530
020	"	5 2	"	66h 20min	Wire Foil	0.3492 00 00690	3.77 " 7.52 "	0.502
67M-45R-2	"	1	M - 6	16d 6h 41min	Wire Foil	0.1780 00 019	Allowed to decay for 143d	3.43 $\times 10^{13}$
022	4	5 5	Hydro Rabbit	96 h	Wire	0.3583		
025	"	5 7	"	22h 45min	Foil	0.000693	6.67 $\times$ "	6.67 $\times$ "
67M-46R-3	"	5	M - 6	18d 10h 31min	Wire Foil	0.1794 0.0016	Allowed to decay for 93d	$5.32 \times 10^{14}$
67M-47R-2	5	8	M - 6	18d 6h 45min	Wire Foil	0.1864 0.0020		
023	6	5 8	Hydro Rabbit	91h 32min	Wire	0.3453	2.98 $\times 10^{13}$	
027	"	5 4	"	24h	Foil	0.000744	7.74 $\times$ "	7.74 $\times$ "
67M-48R-3	"	1 2	M - 6	20d 15h 23min	Wire Foil	0.1588 0.0022	$2.30 \times 10^{14}$ $3.84 \times$ "	$2.30 \times 10^{14}$ $3.84 \times$ "
67M-49R-4	"	1 7	K - 4	"	Wire Foil	0.0777 0.0021	$1.37 \times 10^{14}$	$9.05 \times 10^{13}$
029	8	6 0	Hydro Rabbit	10h	Foil	0.000594		
030	"	6 1	"	96 h	Wire	0.3471	2.94 $\times$ "	2.94 $\times$ "

Note. Wire : 1.0mm  $\phi$ , Foil : ~1.6mg/cm<sup>2</sup>, Saturated activity 7.94 Ci/g • Au( $\phi = 10^{13}$ )  
 Activation cross section 96 barn. Not corrected for epithermal neutrons.

Table 9. Results of the Irradiation of Zn Targets

Capsule No.	Cycle No.	RI sample No.	Reactor hole	Irradiation period at 30MW	Target weight(g)	Specific activity of $^{68}\text{Zn}$ (Ci/g Zn)	Thermal neutron flux at 50MW( $\text{n}/\text{cm}^2 \cdot \text{sec}$ )
67M-45R-2 025	3 4	1 57	M-6 Hydro Rabbit	16d6h41min 22h45min	0.0232 0.6816	0.683 -----	4.56 $\times 10^{14}$ 8.34 $\times 10^{13}$
67M-47R-2 67M-50R-2 029	5 7 8	8 19 60	M-6 M-6 Hydro Rabbit	18d6h45min 17d15h14min 10h5min	0.0362 0.0388 0.5747	0.863 0.317 1.35	3.75 $\times 10^{14}$ 2.54 $\times 10^{14}$ 8.44 $\times 10^{13}$
67M-51R-2	8~9	22	M-6	36d5h20min	0.1517		4.40 $\times 10^{14}$

\*:  $^{68}\text{Zn}$  was measured after the decay of  $^{69},^{69m}\text{Zn}$ .

Table 10. Results of the Irradiation of Ni Targets

Capsule No.	Cycle No.	RI sample No.	Reactor hole	Irradiation period at 30MW	Target weight(g)	Fast neutron flux obtained by the reaction $^{68}\text{Ni}(\text{n}, \text{p})^{68}\text{Co}$ at 50MW( $\text{n}/\text{cm}^2 \cdot \text{sec}$ )	
						$\sigma : 1.05\text{mb}$	$\sigma : 9.2\text{mb}$ , Corrected value for burn up
67M-45R-2	3	1	M-6	16d 6h41min	1.0505	1.95 $\times 10^{13}$	2.84 $\times 10^{13}$
67M-47R-2	5	8	M-6	18d 6h45min	0.9797	2.04 "	2.91 "
67M-50R-2	7	19	M-6	17d15h14min	0.9465	3.05 "	5.20 "
67M-53R-3	7~9	29	J-7-1	53d20h34min	0.1281	1.24 "	2.49 "

Table 1.1. Results of the Irradiation of Co Needle Targets

Capsule No.	Cycle No.	R.I. sample No.	Reactor hole	Irradiation period at 30MW	Target Size	material Number	Weight(g)	$^{60}\text{Co}$ (mCi/needle)	Activity of thermal neutron flux at 50MW ( $\text{n}/\text{cm}^2 \cdot \text{sec}$ )
0 2 4	4	5 3	Hydro Rabbit	9 6 h	0.91 mm $\phi \times$ 1.5 mm 0.46 " 1.0 "	3	0.255 0.045	2.8.3 5.5.5	4.8 * $\times$ 10 <sup>18</sup> 4.3 "
0 2 6	6	5 6	"	7 2 h	0.91 " 1.5 " 0.46 " 1.0 "	"	0.255 0.045	3.5.2 5.7.5	6.8 * 7.7 "
0 2 8	8	5 9	"	9 6 h	0.91 " 1.5 " 0.46 " 1.0 "	"	0.255 0.045	3.3.9 6.9	6.2 * 6.2 "

\* : The neutron flux was measured with Co foil.

Table 1.2. Results of the Irradiation of  $\text{Ta}_2\text{O}_5$  Targets

Capsule No.	Cycle No.	R.I. sample No.	Reactor hole	Irradiation period at 30MW	Target weight(mg)	Specific activity of $^{188}\text{Ta}(\text{Ci/g Ta})$	Thermal neutron flux at 50MW ( $\text{n}/\text{cm}^2 \cdot \text{sec}$ )
6 7 M-4 5 R-3	3	2	M-6	1 6 d 6 h 41 min	3.2	9.73	0.97 $\times$ 10 <sup>14</sup> 2.65 *
6 7 M-4 7 R-3	5	9	M-6	1 8 d 6 h 45 min	4.0	1.25	1.12 " 2.28 *
6 7 M-5 0 R-3	7	20	M-7	1 7 d 15 h 14 min	3.9	1.13	1.15 " 4.37 *

\* : The neutron flux was measured with Co foil.

Table 13. Results of the Irradiation of KC<sub>6</sub> Targets

Capsule No.	Cycle No.	R.I sample No.	Reactor hole	Irradiation period at 30MW	Target weight(g)	Activity of <sup>55</sup> S (Ci/KC <sub>6</sub> )	Thermal neutron flux at 50MW (n/cm <sup>2</sup> .sec)	Description
67M-45R-3	3	2	M-6	16d6h41min	2.1311	—	2.70* × 10 <sup>14</sup>	Target material container could not be taken out of the inner capsule.
67M-47R-3	5	9	M-6	18d6h45min	2.0132	1.64	2.28*	Chemical processing yield 65%
67M-51R-4	8~9	24	M-6	36d5h20min	1.0287	4.54	4.84	"
67M-52R-3	7~9	27	K-4	53d20h34min	0.5050	2.31	2.76*	53%
						2.03*	6.24	"
						2.03	7.4%	7.4%

\* : The neutron flux was measured with Co foil.

Table 14. Results of the Irradiation of AlN Targets

Capsule No.	Cycle No.	R.I sample No.	Reactor hole	n v t	Target Form	material Weight(g)	Gas evolved	Dose rate at surface(mR/h)	A&N
					Powder	5	8.1	air	240
67M-45 R-4	3	3	M-6	2.2×10 <sup>20</sup>	Powder	5	8.0	"	450
67M-47 R-4	5	10	"	1.5 "	"	5	7.4	"	460
67M-49 R-3	6	16	K-4	1.4 "	"	1	8.3	"	900
67M-50 R-4	7	21	M-7	"	Pellet	1	—	—	450
67M-51 R-3	8~9	23	M-6	"	"	1	—	—	—
67M-52 R-2	7~9	25	K-4	3.0 "	"	1	6.4	"	—
70M-17R-1~5	7~11	70~74	K-11	6.0~1.8×10 <sup>20</sup>	"	207.811	243420	"	—
70M-18R-1~5	"	75~79	E-6	"	"	195.871	16	"	—
70M-19R-1~5	"	97~101	N-8	"	"	207.533	4.3	"	—

Table 15. Results of the Irradiation of  $\text{Cs}_2\text{CO}_3$  Targets

Capsule No.	Cycle No.	R I sample No.	Reactor hole	Irradiation period at 30MW	Target weight(g)	Specific activity of $^{134}\text{Cs}(\text{Ci/g Cs})$	Thermal neutron flux at 50MW( $\text{n/cm}^2 \cdot \text{sec}$ )
67M-46R-3	4	5	M-6	18d19h59min at 25MW	3.9	9.72	2.14* $\times 10^{14}$ 2.68 "
67M-48R-3	6	12	M-6	20d15h23min	2.6	1.45	3.76* 3.39 "
67M-52R-3	7~9	26	K-4	53d20h34min	6.5	1.35	1.28* 1.13 "

\* : The neutron flux was measured with Co foil.

Table 16. Results of the Irradiation of Cr,  $\text{K}_2\text{CrO}_4$ ,  $\text{Cr}_2\text{O}_3$  Targets

Capsule No.	Cycle No.	R I sample No.	Reactor hole	Irradiation period at 30MW	Target material	Specific activity of $^{61}\text{Cr}(\text{Ci/g Cr})$	Thermal neutron flux at 50MW( $\text{n/cm}^2 \cdot \text{sec}$ )	Remarks
67M-46R-4	4	6	M-6	18d19h59min at 25MW	Cr $\text{K}_2\text{CrO}_4$	0.0005082 0.0138	7 7	2.18 $\times 10^{14}$ "
67M-48R-4	"	"	M-6	20d15h23min "	Cr $\text{K}_2\text{CrO}_4$	0.0005792 0.0132	1.63 1.61	Discoloration from yellow to black
67M-49R-2	6	13	M-6	20d15h23min	Cr $\text{K}_2\text{CrO}_4$	0.0003109	6	3.44 " Discoloration from yellow to black
67M-52R-4	7~9	27	K-4	20d15h23min	Cr	0.00026	0.94 " 1.12 *	
70M-2R-1	7	65	I-11	17d15h14min	$\text{Cr}_2\text{O}_3$	** 0.0005667		Insoluble in acid and alkaline solns
70M-9R-1	9	83	I-11	19d26min	$\text{Cr}_2\text{O}_3$	** 0.004747	1.41 " 1.33 *	Fused with a mixture of $\text{KNO}_3 - \text{K}_2\text{CO}_3$

\* : The neutron flux was measured with Co foil.

\*\* :  $^{60}\text{Cr}$  enriched to 95.9% was used.

Table 17. Results of the Irradiation of  $\text{CaCO}_3$  Targets

Capsule No.	Cycle No.	R.I sample No.	Reactor hole	Irradiation period at 30MW	Target Weight(g)	Specific activity of $^{46}\text{Ca}(\text{mCi/g Ca})$	The rmal neutron flux at 50MW( $\text{n}/\text{cm}^2 \cdot \text{sec}$ )	Chemical yield
67M-46R-5	4	7	M-6	18d19h59min at 25MW	1.008	—	—	—
67M-48R-5	6	14	M-6	20d15h23min	1.0139	83	$2.30^* \times 10^{14}$ 3.33	94%
67M-48R-5	6	18	K-4	"	0.1158	—	$1.21^*$ 2.58	"
67M-51R-4	8~9	24	M-6	36d 5h20min	0.5111	130	$2.74^*$ 2.58	100%
67M-52R-5	7~9	28	K-6	53d20h34min	0.5113	53	$3.13^* \times 10^{13}$ 8.02	100%

\*: The neutron flux was measured with Co foil

Table 18. Results of the Irradiation of Cd Targets

Capsule No.	Cycle No.	R.I sample No.	Reactor hole	Irradiation period at 30MW	Target Weight(g)	Specific activity of $^{113m}\text{Cd}(\text{mCi/g Cd})$	Thermal neutron flux at 50MW( $\text{n}/\text{cm}^2 \cdot \text{sec}$ )
67M-49R-6	6	17	K-4	20d15h23min	1.16	27.3	$1.42^* \times 10^4$ 2.32
67M-52R-2	7~9	26	K-4	53d20h34min	9.6	11.7	$1.28^* \times 10^4$ 7.72

\*: The neutron flux was measured with Co foil

Table 19. Results of the Irradiation of Ag Targets

Capsule No.	Cycle No.	R.I sample No.	Reactor hole	Irradiation period at 30MW	Target weight(g)	Specific activity of $^{110}\text{m}$ Ag(Ci/g Ag)	Thermal neutron flux at 50MW(n/cm <sup>2</sup> •sec)
67M-49R-5	6	18	K-4	20d15h23min	0.0331	1.17	1.21* $\times 10^{14}$ 1.50 "
67M-51R-2	8~9	22	M-6	36d 5h20min	0.0402	3.82	2.62* $\times 10^{14}$ 2.90 "

\*: The neutron flux was measured with Co foil

Table 20 Results of the Irradiation of MoO<sub>3</sub> Targets

Capsule No.	Cycle No.	R.I sample No.	Reactor hole	Irradiation period at 30MW	Target weight(g)	Specific activity of $^{99}\text{Mo}(\text{Ci/g Mo})$	Thermal neutron flux at 50MW(n/cm <sup>2</sup> •sec)
70M-2R-4	7	66	I-11	17d15h14min	1.03850	6.10*	5.60** $\times 10^{14}$
70M-8R-3	8	81	I-11	17d4h54min	1.01705	3.59	4.99** 5.00 "
031	8	152	Hydro rabbit	10h4min at 3.19MW	1.0281	0.0321	4.35*** 9.58 "
70M-9R-4	9	84	I-11	19d26min	1.00684	2.20	4.78** "

\*: This value include the activity of  $^{92}\text{Nb}$ 

\*\*: The neutron flux was measured with Co foil

\*\*\*: The fast neutron flux obtained by the  $^{98}\text{Mo}(\text{n}, \text{p})^{94}\text{Nb}$  reaction.

Table 21. Results of the Irradiation of Fe,  $\text{Fe}_2\text{O}_3$  Targets

Capsule No.	Cycle No.	R.I. sample No.	Reactor hole	Irradiation period at 30MW	Target material form	Target material weight(mg)	Specific activity of $^{58}\text{Fe}$ (Ci/g Fe)	Thermal neutron flux at 50MW (n/cm <sup>2</sup> • sec)
68M-23R-3	5	48	I-11	18d 6h45min	Fe	6.1	$^{54}\text{Mn}$ 2.98 62.7	$5.85^* \times 10^{14}$ $5.37$ $1.46^{**}$ "
68M-24R-3	6	49	I-11	20d15h23min	Fe	5.1	$\sim 80$	$5.00^*$ $5.53$ "
67M-53R-3	7~9	29	J-7-1	53d20h34min	Fe	1.0 0.5	—	$3.34^*$ "
70M-15R-4	9~10	89	J-4	37d13h25min	$\text{Fe}_2\text{O}_3$ ***	1.3 5.6	$26.8 \times 10^8$	$3.56^*$ "

\*: The neutron flux was measured with Co foil.

\*\*: The fast neutron flux obtained by the  $^{54}\text{Fe}(\text{n}, \text{p})^{54}\text{Mn}$  reaction\*\*\*:  $^{58}\text{Fe}$  enriched to 82.4% was used

Table 22. Results of the Irradiation of Sn Targets

Capsule No.	Cycle No.	R.I. sample No.	Reactor hole	Irradiation period at 30MW	Target weight(g)	Specific activity of $^{113}\text{Sn}$ (Ci/g Sn)	Thermal neutron flux at 50MW (n/cm <sup>2</sup> • sec)
68M-23R-3	5	48	I-11	18d 6h45min	1.0 31.9	$^{116}\text{Sb}$ 7.16 38.1	$5.85^* \times 10^{14}$ $3.70$ "
68M-24R-3	6	49	I-11	20d15h23min	1.0 34.3	—	$5.00$ "

\*: The neutron flux was measured with Co foil

Table 23. Results of the Irradiation of Ir Target

Capsule No.	Cycle No.	RI sample No.	Reactor hole	Irradiation period at 30MW	Form	Target material Number	Weight(g)	Activity of $^{192}\text{Ir}$ (Ci/pe1let)	Thermal neutron flux at 50MW (n/cm <sup>2</sup> •sec)
68M-20R-3	4	4 7	I - 1 1	18d19h59min at 25MW	2mm φ×2mm	1 9 0	2 6 . 6	1 4	2 . 8 * × 1 0 <sup>14</sup>
70M-2R-3	7	6 3	I - 1 1	17d15h14min	" 2 "	4 7	6 . 6	1 . 9 1	"
70M-9R-3	9	9 4	I - 1 1	19d26min	" 2 "	4 5	0 . 4 2	5 . 0 *	"
					" 0 . 2 "	4 9	6 . 3	1 . 9 6	"
							0 . 6 9	4 . 6	"

\* : The neutron flux was measured with Co foil.

Table 24. Results of the Irradiation of TeO<sub>2</sub> Target

Capsule No.	Cycle No.	RI sample No.	Reactor hole	Irradiation period at 30MW	Target weight(g)	State of the target after irradiation
68M-5R-1		3 1			1 0 . 0	Estimated Activity of $^{131}\text{I}$ : 0 . 3 9 Ci/g TeO <sub>2</sub>
" -2	4	3 2	K - 4	18d19h59min at 25MW	1 0 . 0	" 0 . 4 5 "
" -3		3 3			1 0 . 0	" 0 . 4 9 "
68M-8R-1		3 4			2 0 . 0	Dry, fine powder of dark brown
" -2	5	3 5	K - 4	18d6h45min	2 0 . 0	Estimated Activity of $^{131}\text{I}$ : 0 . 4 6 Ci/g TeO <sub>2</sub>
" -3		3 6			2 0 . 0	" 0 . 5 2 "
					"	" 0 . 5 7 "
70M-2R-2	7	6 4	I - 1 1	17d15h14min	3 0 . 0	Dark brown in the middle and became darker toward the capsule wall. Partially solidified.
						Estimated activity of $^{131}\text{I}$ : 1 . 4 Ci/g TeO <sub>2</sub>
						" thermal neutron flux : $2 . 4 \times 10^{14}$ n/cm <sup>2</sup> •sec
70M-8R-2	8	8 0	I - 1 1	17d4h54min	3 0 . 0	Black, annular layer at the distance of 2-3 mm from the capsule wall
						Estimated activity of $^{131}\text{I}$ : 1 . 7 Ci/g TeO <sub>2</sub>
						" thermal neutron flux : $2 . 9 \times 10^{14}$ n/cm <sup>2</sup> •sec

Table 25. Results of the Irradiation of S Target

Capsule No.	Cycle No.	R. I. sample No.	Reactor hole	Irradiation period at 30MW	Target weight(g)	State of the target after irradiation
68M-9R-1	37				5.0	Sulfur solidified on the lid of the inner capsule.
	5	38	J-7-1	18d6h45min	5.0	
	" -3	39			5.0	Aluminum spacer with 4 holes(6φ) was used.
68M-10R-1	40				10.0	Recognized to be processable.
	6	41	J-7-1	20d15h23min	10.0	
	" -3	42			10.0	
70M-12R-3	68				15.5557	Activity of $^{32}\text{P}$ : 520m Ci/gS (when the chem. yield was assumed to be 100%) Chem. yield became 33.6% , when calculated on an assumed fast neutron flux of $1.57 \times 10^{14} \text{n/cm}^2 \cdot \text{sec}$
	7		J-9-3	17d15h14min	15.2724	
	" -4	79				
70M-13R-3	86				15.2257	Not Processed
	9	87	J-9-4	19d26min	15.5470	

Table 26. Neutron Flux in the Hydro Rabbit  
at 50MW Operation

Capsule No.	Cycle No.	R I sample No.	Target material	Thermal neutron flux at 50MW (n/cm <sup>2</sup> ·sec)
018	3	50	Au wire	4.57 × 10 <sup>13</sup>
			" foil	7.95 "
019	"	51	Au wire	4.76 "
			" foil	9.00 "
020	"	52	Au wire	3.77 "
			" foil	7.52 "
024	4	53	Co foil	4.84 "
			"	4.25 "
022	"	55	Au wire	3.88 "
025	"	57	Au foil	7.55 "
"	"	"	Zn block	5.11 "
"	"	"	MgO powder	9.10* × 10 <sup>12</sup>
"	"	"	Al foil	9.12* "
027	6	54	Au foil	7.44 × 10 <sup>12</sup>
			Zn block	8.34 "
			MgO powder	2* "
026	"	56	Co foil	6.8 "
			"	7.7 "
028	8	59	Co foil	6.2 × 10 <sup>13</sup>
			Au foil	9.05 "
			Zn block	8.44 "
			MgO powder	2.14 "
030	"	61	Au wire	2.94 "
031	"	152	MoO <sub>3</sub> powder	9.58 "
"	"	"	Co foil	4.92 "

\* : Fast neutron flux (n/cm<sup>2</sup>·sec)

Table 27. Specific Activities to be obtained by the Irradiation  
for 21 Days at a 50 MW Reactor Power, Estimated from  
the Results of Test Irradiation.

Nuclide	Target material	Half-life	Specific activity (Ci/g elem.)	Thermal neutron flux (n/cm <sup>2</sup> •sec)	Reactor Hole
<sup>32</sup> P	S	14.22d	30	1.6 <sup>*</sup> × 10 <sup>14</sup>	I - 7 - 1
<sup>35</sup> S	KCl	87d	2.0 <sup>**</sup> Ci/KCl	2.2 //	M - 6
<sup>51</sup> Cr	K <sub>2</sub> CrO <sub>4</sub>	27.8d	100	4.0 //	I - 11
<sup>51</sup> Cr	Cr **	//	300	//	//
<sup>45</sup> Ca	CaCO <sub>3</sub>	164d	0.090	3.0 //	M - 6
<sup>54</sup> Mn	Fe	291d	0.0050	1.5 <sup>*</sup> //	I - 11
<sup>59</sup> Fe	//	45.1d	0.100	4.5 //	//
<sup>58</sup> Co	Ni	71.3d	0.50	2.5 <sup>*</sup> //	J - 7
<sup>63</sup> Ni	//	125y	0.010	2.3 //	M - 6
<sup>65</sup> Zn	Zn	245d	1.0	4.0 //	//
<sup>86</sup> Rb	Rb <sub>2</sub> CO <sub>3</sub>	18.66d	24	3.5 //	//
//	//	//	9.0	1.8 //	I - 11
<sup>98</sup> Mo	MoO <sub>3</sub>	67.0h	0.16	5.0 × 10 <sup>13</sup> (100h)	Hydro Rabbit
//	//	//	1.2	1.2 × 10 <sup>14</sup>	K - 4
<sup>110</sup> mAg	Ag	253d	6.3	2.6 //	M - 6
<sup>113</sup> Sn	Sn	119d	0.070	4.0 //	I - 11
<sup>125</sup> Sb	//	//	0.012	//	//
<sup>115m</sup> Cd	Cd (***) (~10mg)	43d	0.050	1.4 //	K - 4
<sup>134</sup> Cs	Cs <sub>2</sub> CO <sub>3</sub>	20.7y	23	4.0 //	M - 6
<sup>198</sup> Au	Au	26.97d	1800	2.3 //	//
//	//	//	800	1.0 //	K - 4
<sup>199</sup> Au	//	31.5d	150	3.0 × 10 <sup>13</sup> (100h)	Hydro Rabbit
//	Pt	//	(10) <sup>***</sup>	4.0 × 10 <sup>14</sup>	M - 6
<sup>131</sup> I	TeO <sub>2</sub>	8.08d	3.3 <sup>**</sup> Ci TeO <sub>2</sub>	5.0 //	I - 11
<sup>155</sup> Eu	Sm <sub>2</sub> O <sub>3</sub>	1.7y	(~10) <sup>***</sup>	4.0 //	M - 6
<sup>182</sup> Ta	Ta <sub>2</sub> O <sub>5</sub>	115.1d	18	4.0 //	//

\* : Fast neutron flux (n/cm<sup>2</sup>•sec)

\*\* : Enriched in <sup>50</sup>Cr to 95.9%

\*\*\* : Calculated value